

Kosmologie und Astroteilchenphysik

Prof. Dr. Burkhard Kämpfer, PD Dr. Daniel Bemmerer

- Einführung in die Kosmologie
- Weltmodelle und kosmologische Inflation
- Thermische Geschichte des Universums
- Urknall-Nukleosynthese
- Dunkle Energie, dunkle Materie und die beschleunigte Expansion des Universums
- Kosmische Mikrowellen-Hintergrundstrahlung
- Supernovae als kosmische Standardkerzen
- Neutronensterne
- Entstehung und Nachweis kosmischer Strahlung
- Altersbestimmung des Universums
- Fundamentale Physik und die Sonne

1. Vorlesung, 08.04.2013



- ◆ **Einführung in die Kosmologie**
- ◆ **Weltmodelle und kosmologische Inflation**
- ◆ **Thermische Geschichte des Universums**
- ◆ Urknall-Nukleosynthese
- ◆ Dunkle Energie, dunkle Materie und die beschleunigte Expansion des Universums
- ◆ Kosmische Mikrowellen-Hintergrundstrahlung
- ◆ Supernovae als kosmische Standardkerzen
- ◆ Neutronensterne
- ◆ Entstehung und Nachweis kosmischer Strahlung
- ◆ Altersbestimmung des Universums
- ◆ Fundamentale Physik und die Sonne



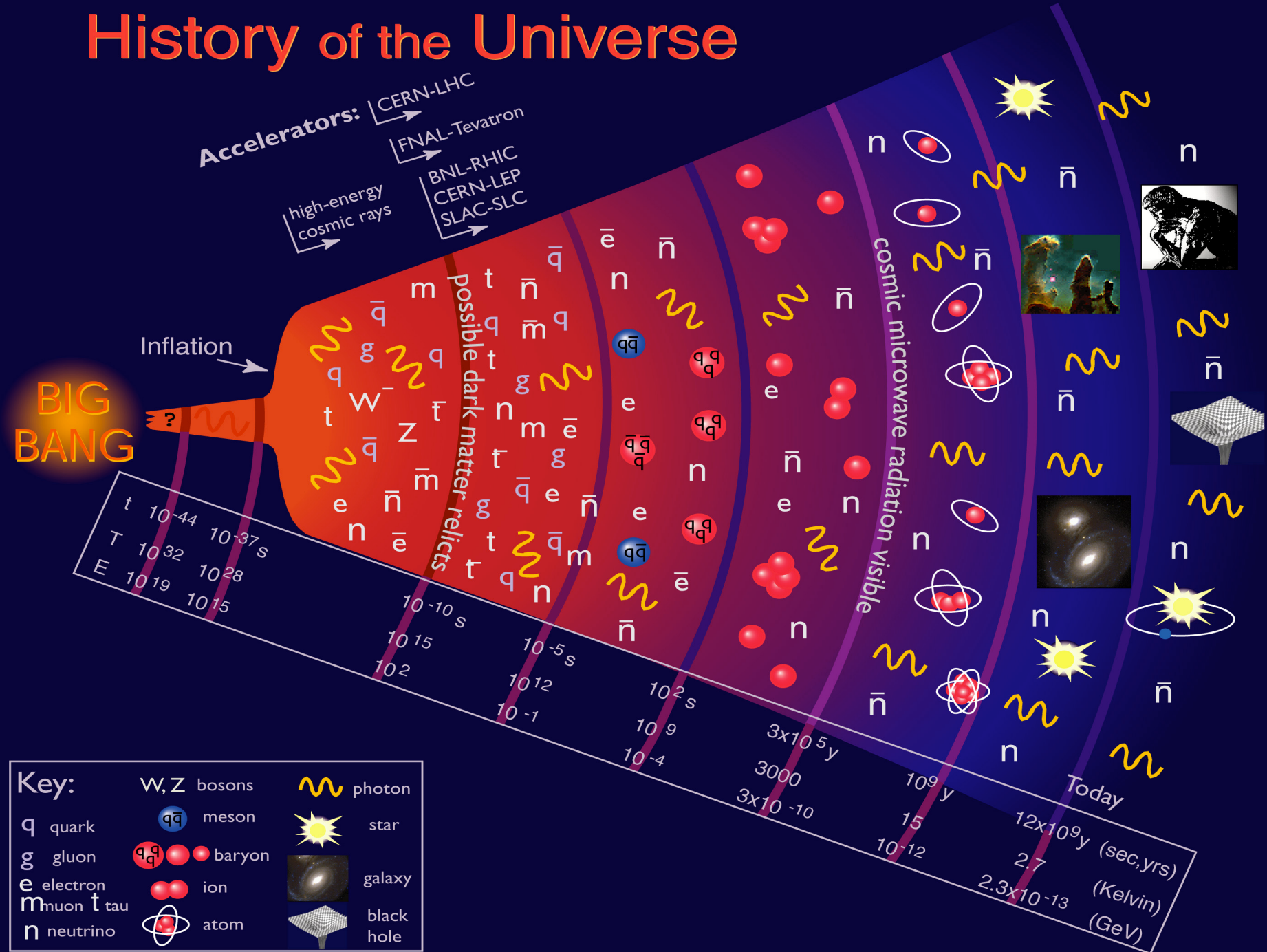
TECHNISCHE
UNIVERSITÄT
DRESDEN

DRESDEN
concept



HZDR

History of the Universe



- ◆ Einführung in die Kosmologie
- ◆ Weltmodelle und kosmologische Inflation
- ◆ Thermische Geschichte des Universums
- ◆ **Urknall-Nukleosynthese**
- ◆ Dunkle Energie, dunkle Materie und die beschleunigte Expansion des Universums
- ◆ Kosmische Mikrowellen-Hintergrundstrahlung
- ◆ Supernovae als kosmische Standardkerzen
- ◆ Neutronensterne
- ◆ Entstehung und Nachweis kosmischer Strahlung
- ◆ Altersbestimmung des Universums
- ◆ Fundamentale Physik und die Sonne



TECHNISCHE
UNIVERSITÄT
DRESDEN

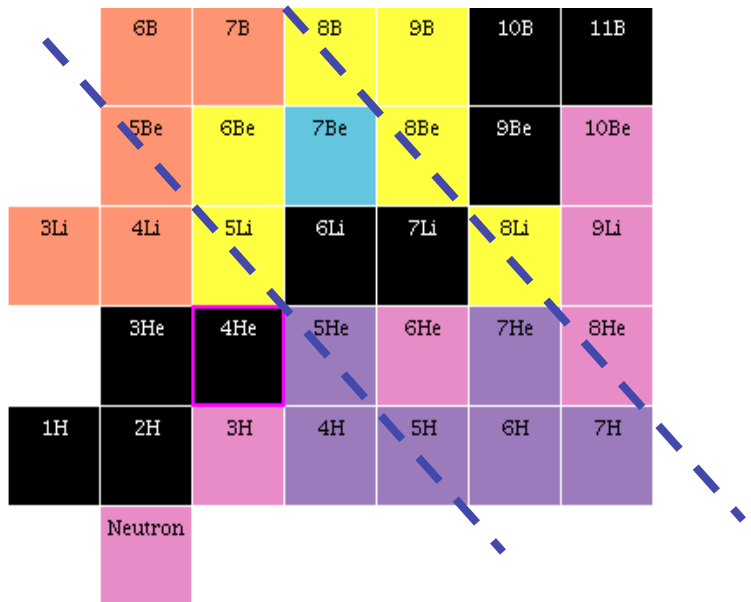
DRESDEN
concept



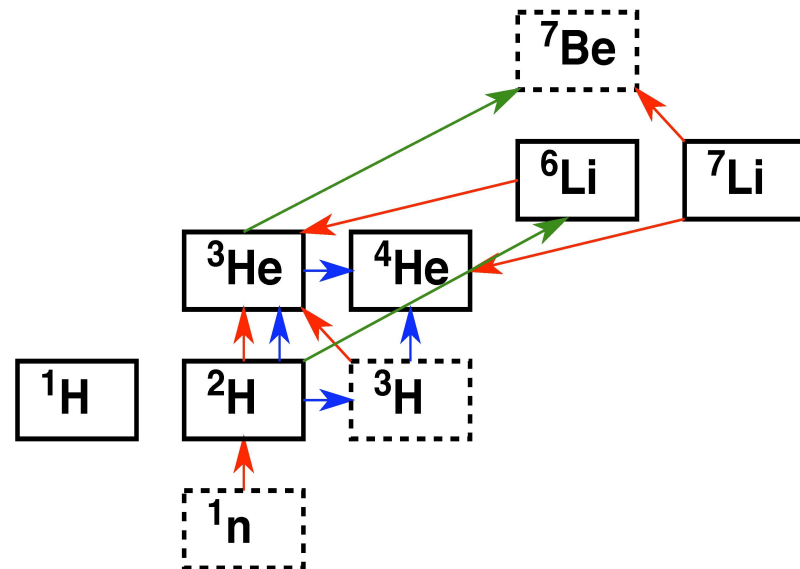
HZDR

Entstehung von ^2H , ^3He , $^7\text{Be} \rightarrow ^7\text{Li}$, vielleicht auch ^6Li parallel zu ^4He

- Reaktionsnetzwerk bestimmt Häufigkeit
- Monte-Carlo-Rechnungen unter Verwendung von Eingabewerten aus Experiment und Theorie (Mikrokosmos)
- ^7Be (Halbwertszeit 53 d) wird zu ^7Li
- Keine Entstehung von Kernen mit $A > 7$

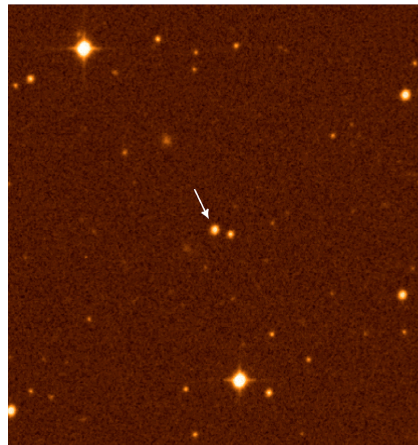


(p,γ)
(p,a)
(p,n)
(d,n)
(d,p)
(a,γ)



- Barrieren bei Masse 5 und 8 behindern den Aufbau zu höheren Massen durch Protoneneinfang
- Neutroneneinfang unbedeutend, da quasi alle Neutronen bereits in ^4He gebunden
- Coulombschwelle $\sim Z_1 Z_2$ behindert den Einfang von ^4He
- Ende der Urknall-Nukleosynthese bei ^7Li

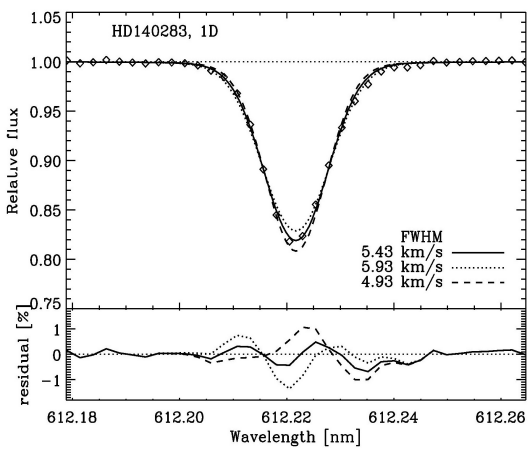
Beobachtung von Nuklidhäufigkeiten: Das Lithium-“Plateau”



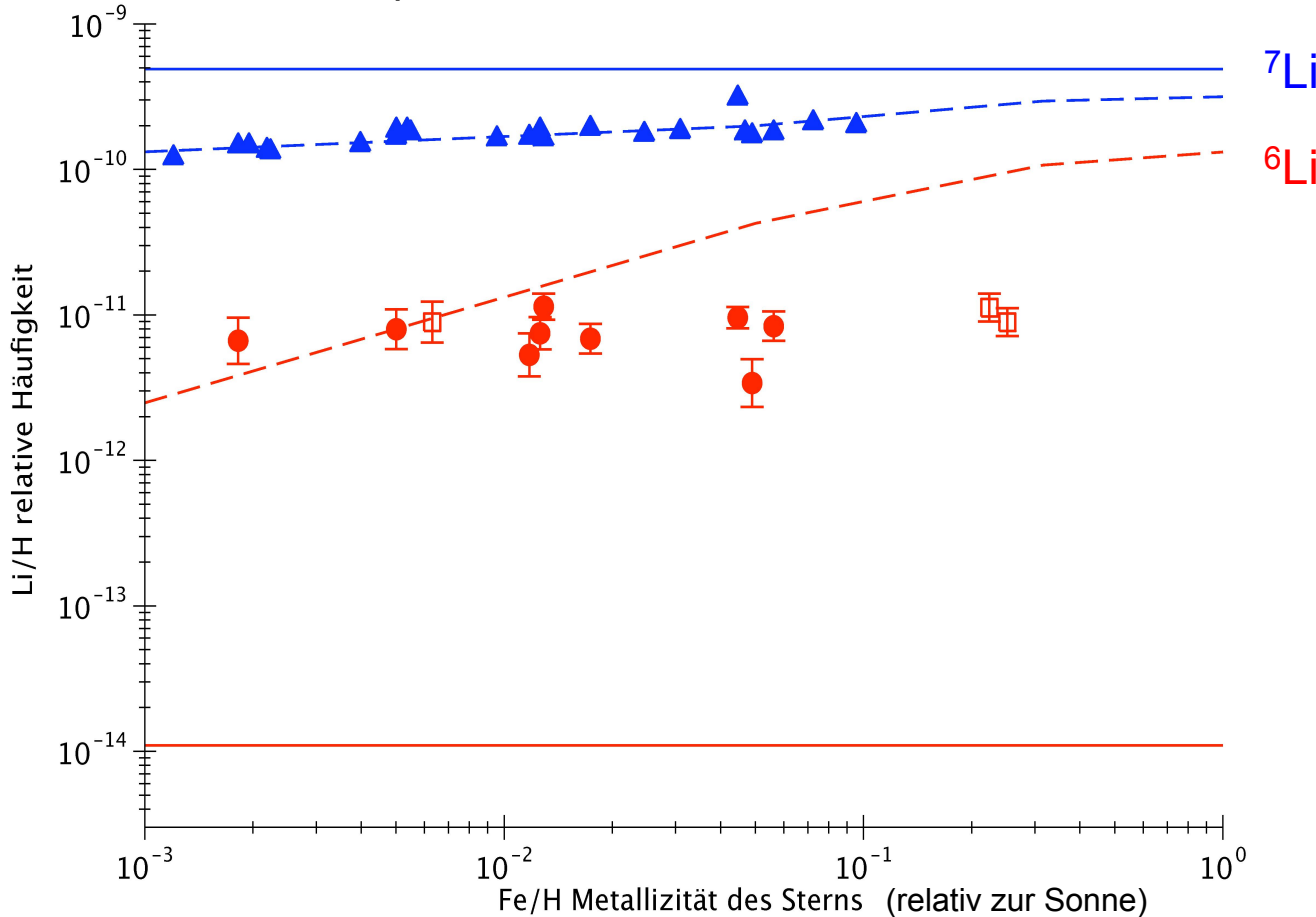
The Very Metal-Deficient Star HE 0107-5240

ESO PR Photo 25a/02 (30 October 2002)

© European Southern Observatory



- Beobachtung von Absorptionslinien in sehr alten Sternen
- Darstellung als Funktion der Anreicherung in Kernen mit $A>7$
- Fitten und Extrapolation zu Alter Null



TECHNISCHE
UNIVERSITÄT
DRESDEN

DRESDEN
concept

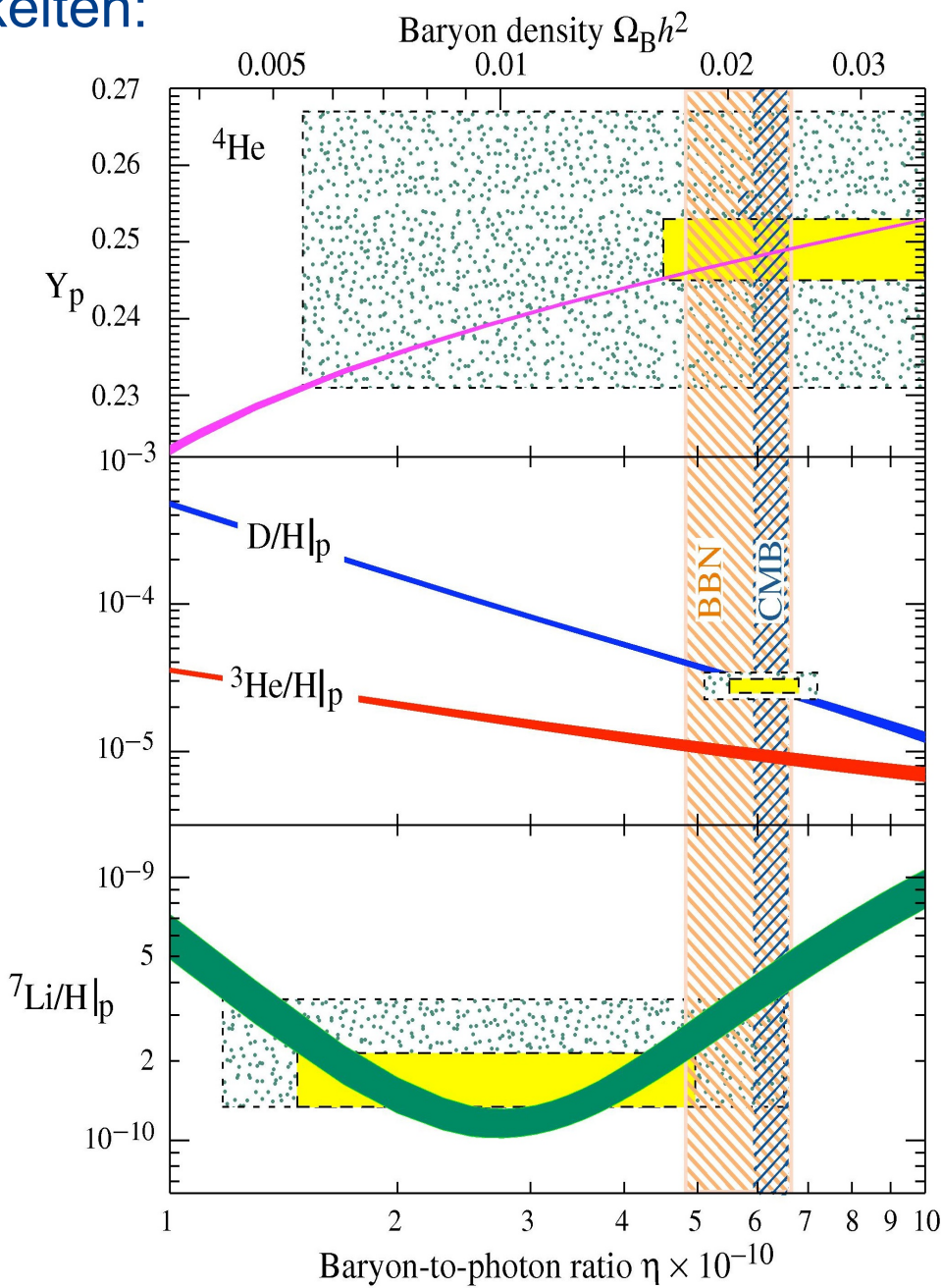
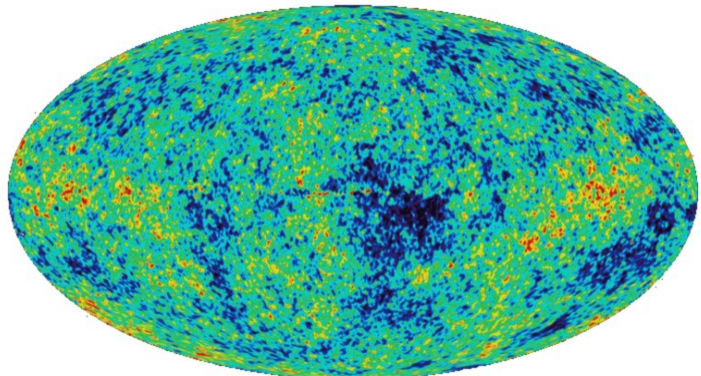


HZDR

Gesamtschau der Nuklidhäufigkeiten:

^4He , ^2H , ^7Li

Vorhersage und Beobachtung
stimmen einigermaßen überein für
diese drei Nuklide!



Bindungsenergie und Entstehung der chemischen Elemente

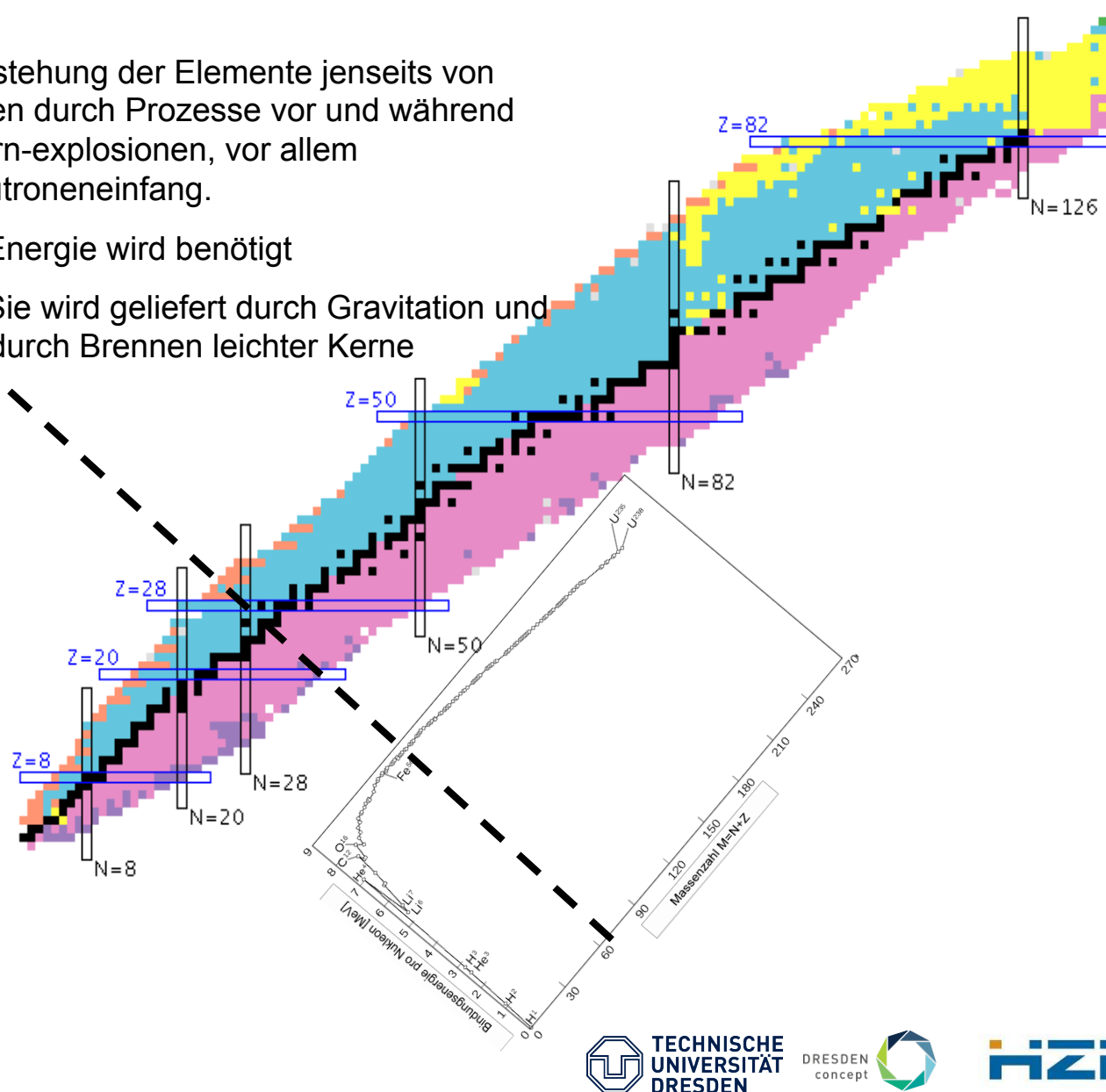
Entstehung der Elemente bis zum Eisen durch Fusion ("Brennen") von leichten Kernen zu schwereren Kernen, im Urknall oder in Sternen.

→ Energieproduktion

Entstehung der Elemente jenseits von Eisen durch Prozesse vor und während Stern-explosionen, vor allem Neutroneneinfang.

→ Energie wird benötigt

→ Sie wird geliefert durch Gravitation und durch Brennen leichter Kerne



- ◆ Einführung in die Kosmologie
- ◆ Weltmodelle und kosmologische Inflation
- ◆ Thermische Geschichte des Universums
- ◆ Urknall-Nukleosynthese
- ◆ Dunkle Energie, dunkle Materie und die beschleunigte Expansion des Universums
- ◆ **Kosmische Mikrowellen-Hintergrundstrahlung**
- ◆ Supernovae als kosmische Standardkerzen
- ◆ Neutronensterne
- ◆ Entstehung und Nachweis kosmischer Strahlung
- ◆ Altersbestimmung des Universums
- ◆ Fundamentale Physik und die Sonne



TECHNISCHE
UNIVERSITÄT
DRESDEN

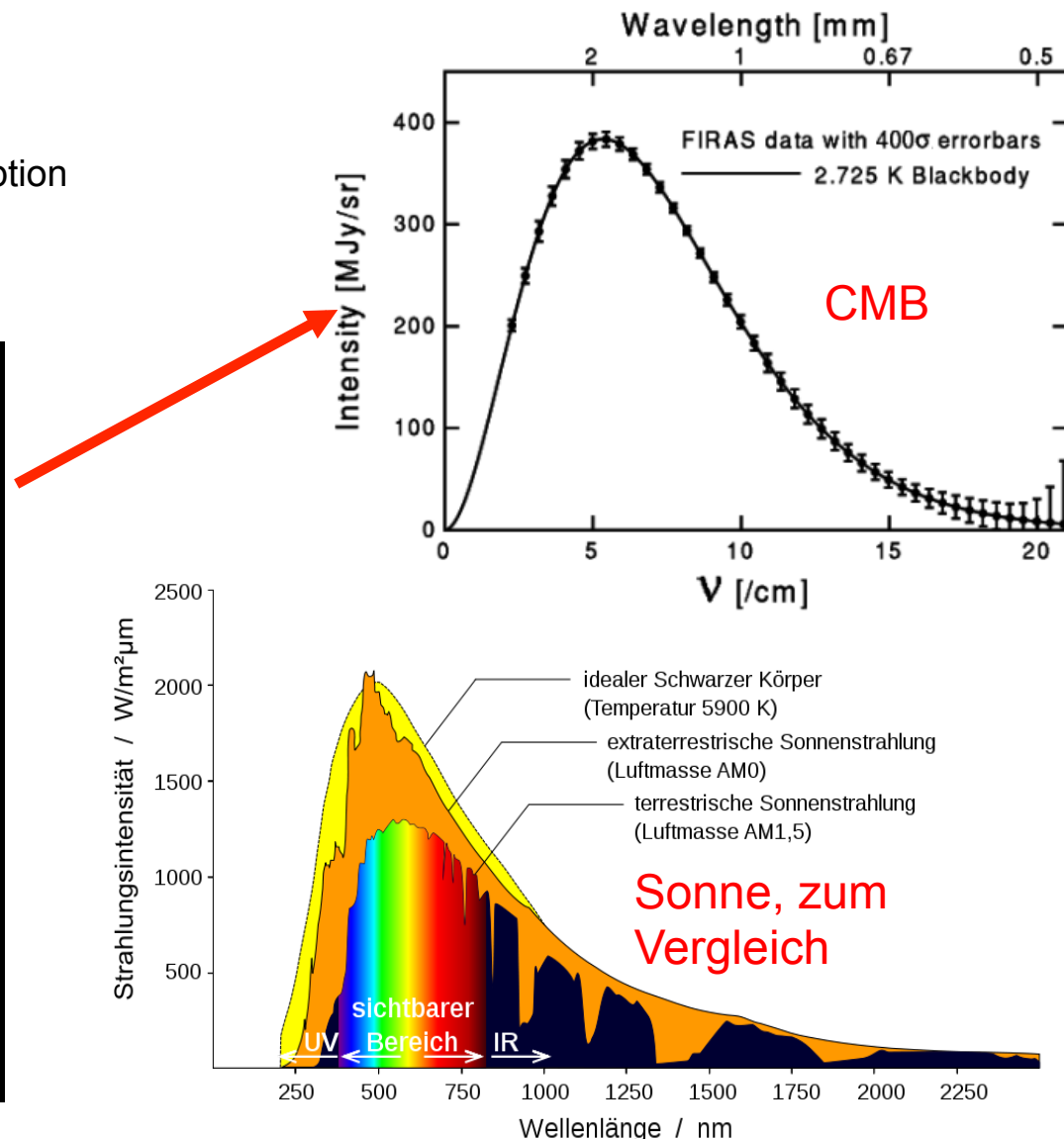
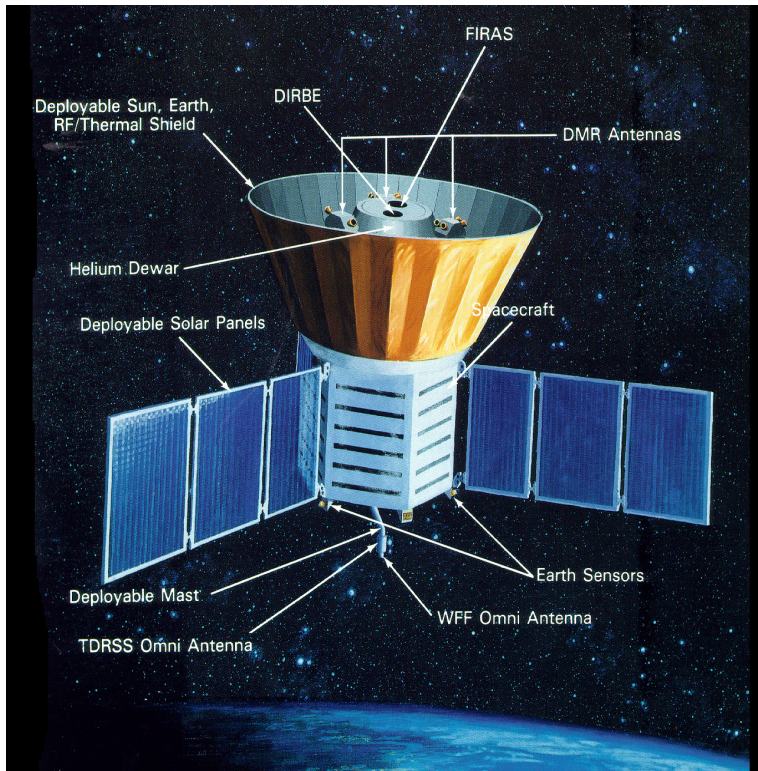
DRESDEN
concept



HZDR

Isotropie und Anisotropie, gesehen mit COBE 1992: Smoot, Mather (1)

- COBE = COsmic Background Explorer
- Satellit, schaltet atmosphärische Absorption aus
- Perfektes Schwarzkörper-Spektrum (besser als z.B. Sonne)



Isotropie und Anisotropie, gesehen mit COBE 1992: Smoot, Mather (2)



10^{-3} Dipol-Anisotropie

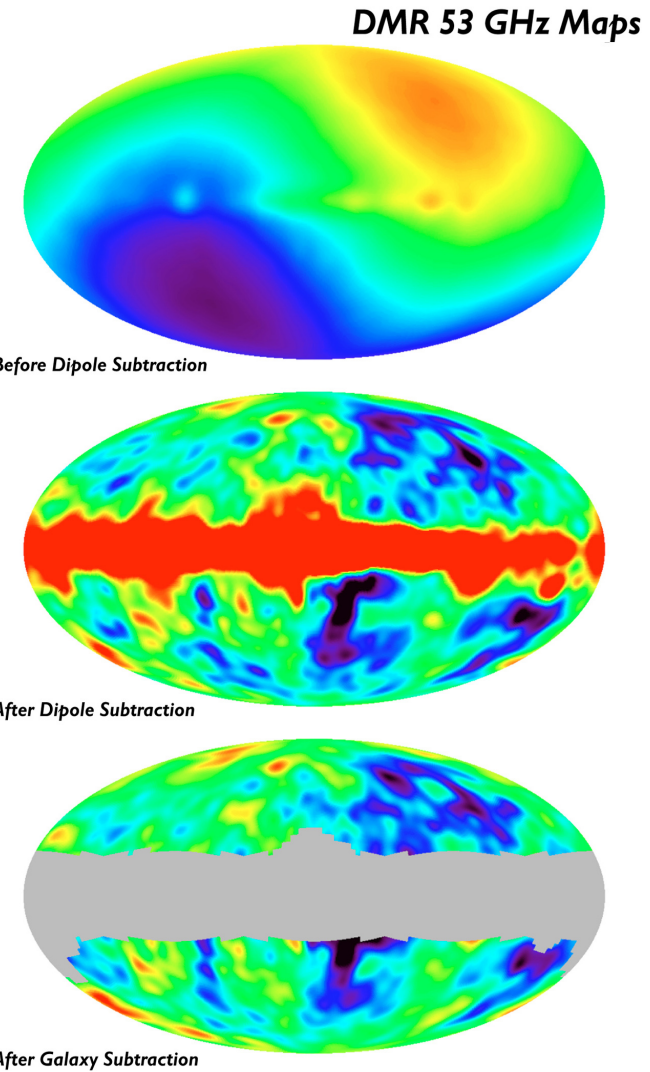


Doppler-Effekt aus der Bewegung von
COBE relativ zum Mikrowellen-
Hintergrund

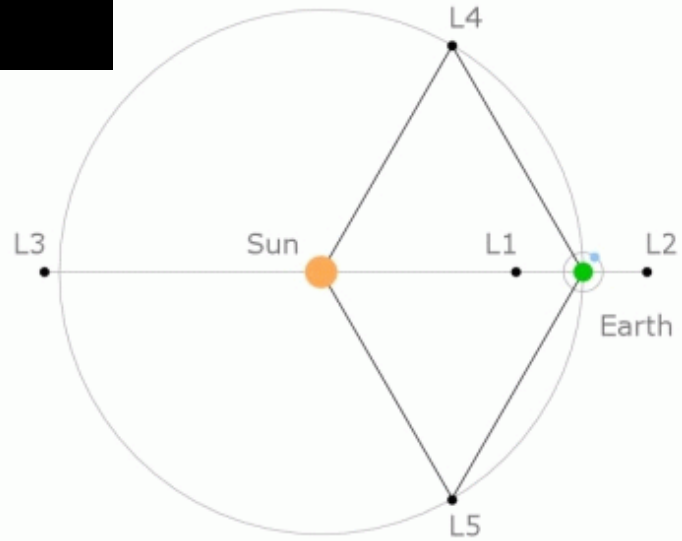
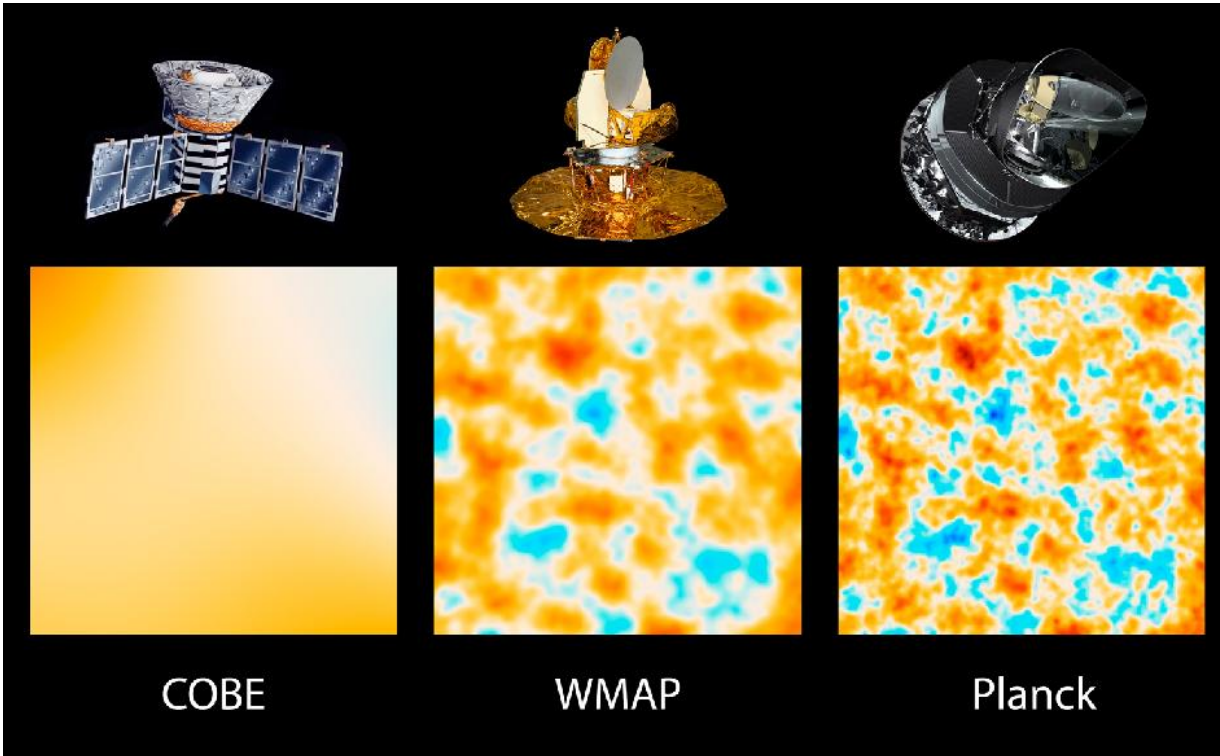
Nobelpreis 2006



10^{-5} kosmische
Anisotropie

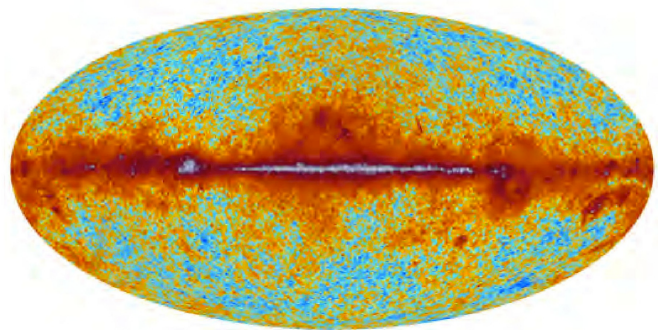


Planck-Satellit 2013: Power-Spektrum des Mikrowellen-Hintergrunds

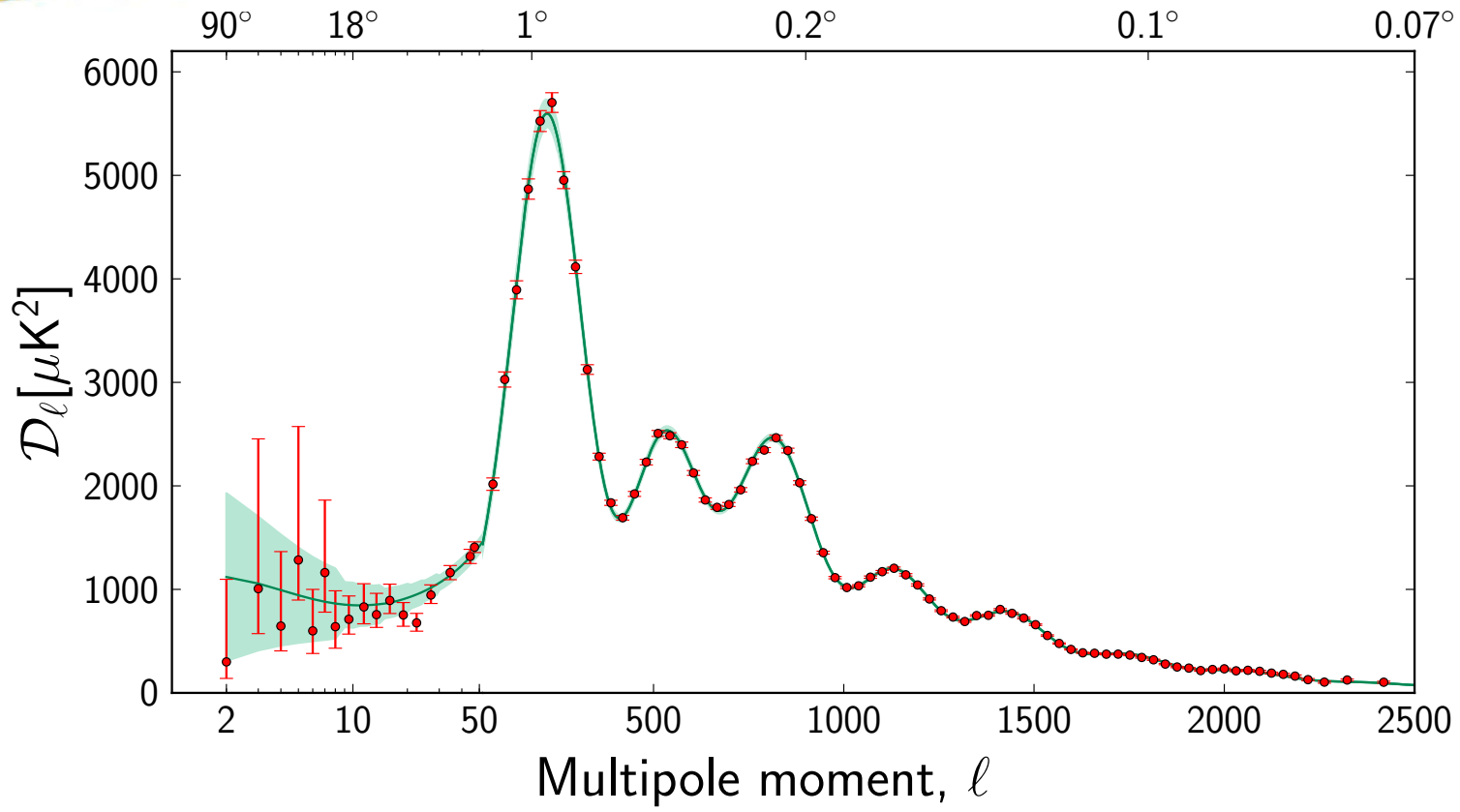


Planck-Satellit 2013: Power-Spektrum des Mikrowellen-Hintergrunds

30 GHz



Angular scale



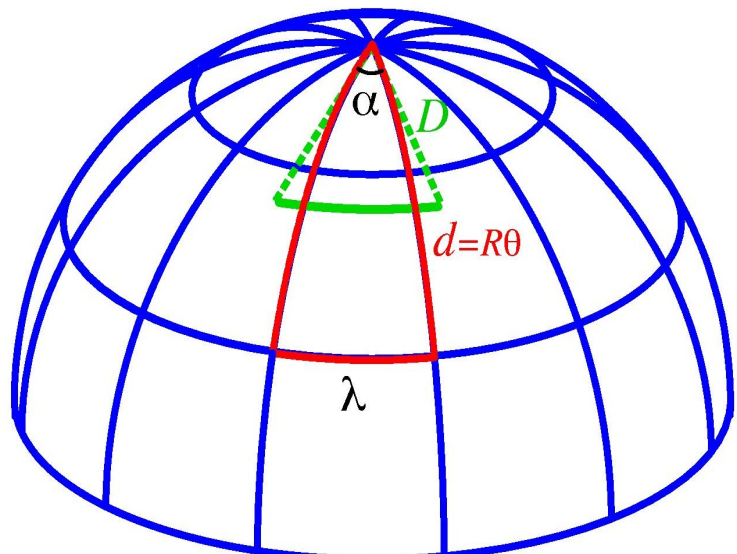
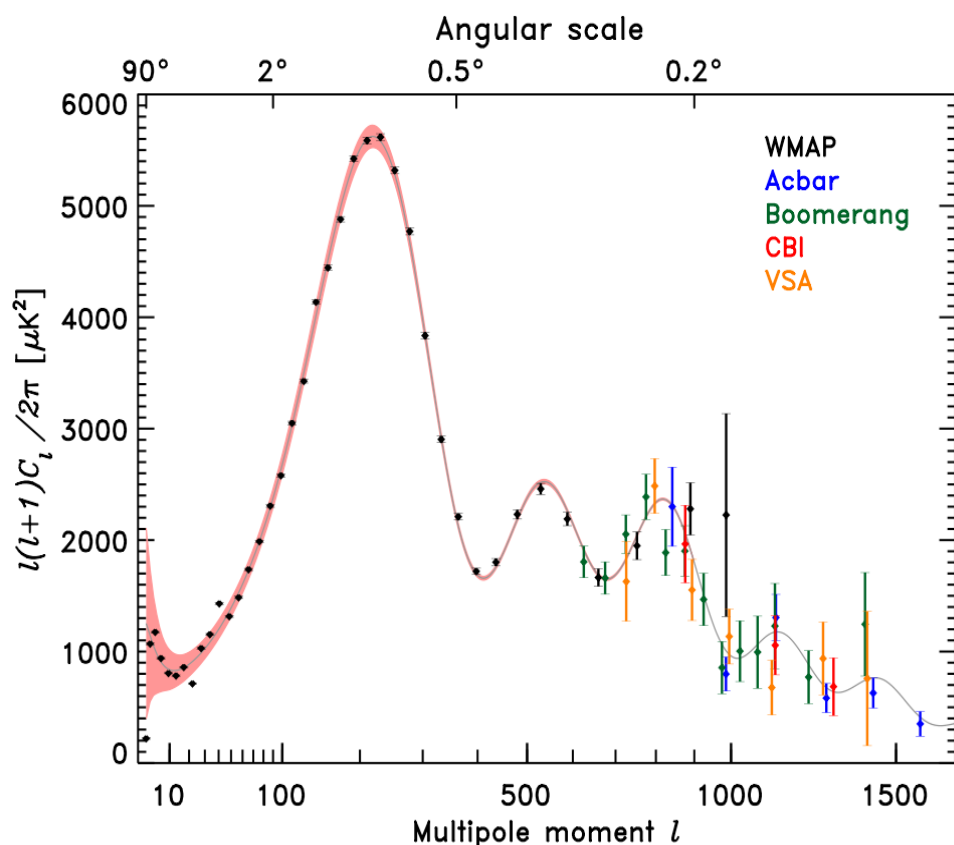
TECHNISCHE
UNIVERSITÄT
DRESDEN

DRESDEN
concept



HZDR

Zur Interpretation des ersten Peaks im Power-Spektrum



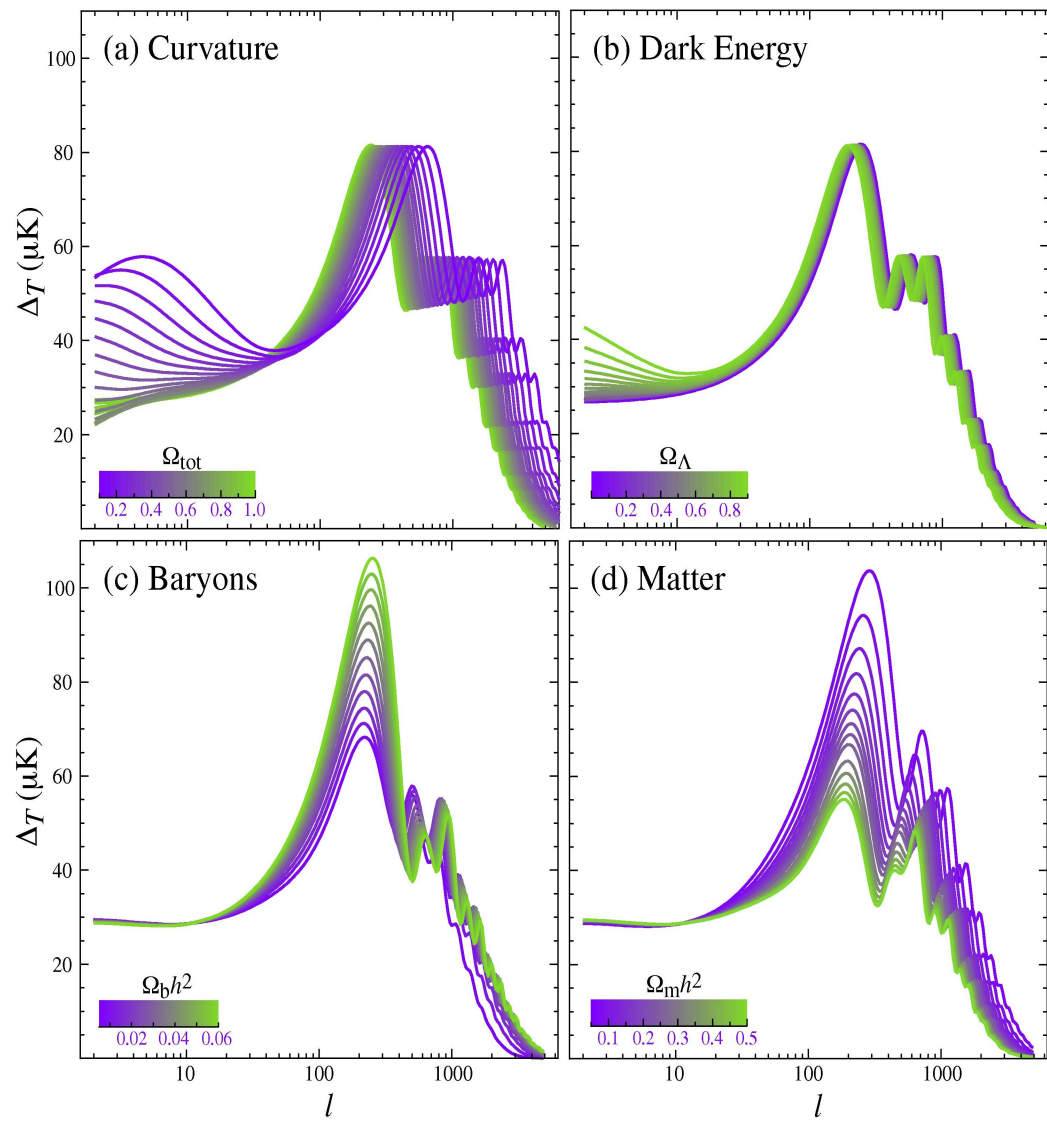
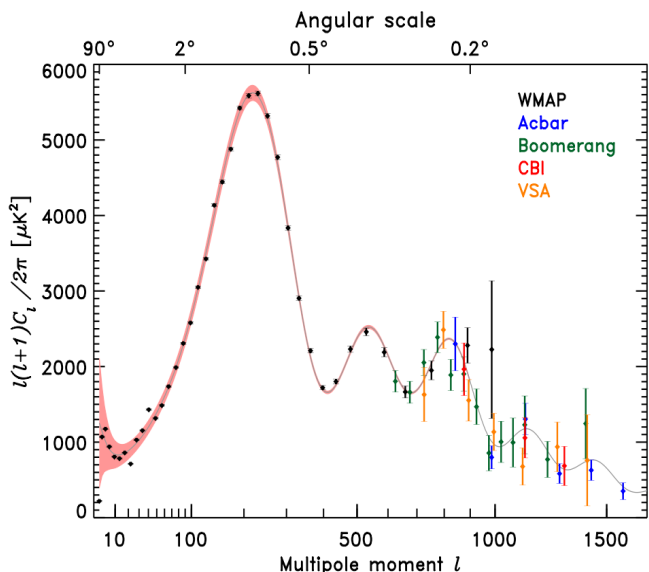
TECHNISCHE
UNIVERSITÄT
DRESDEN

DRESDEN
concept

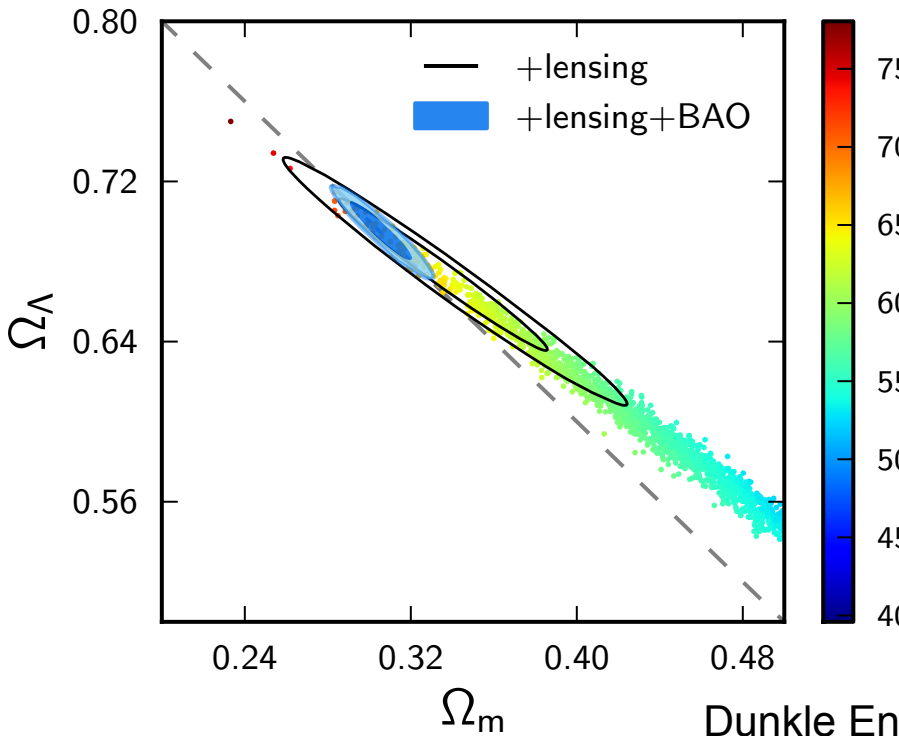


HZDR

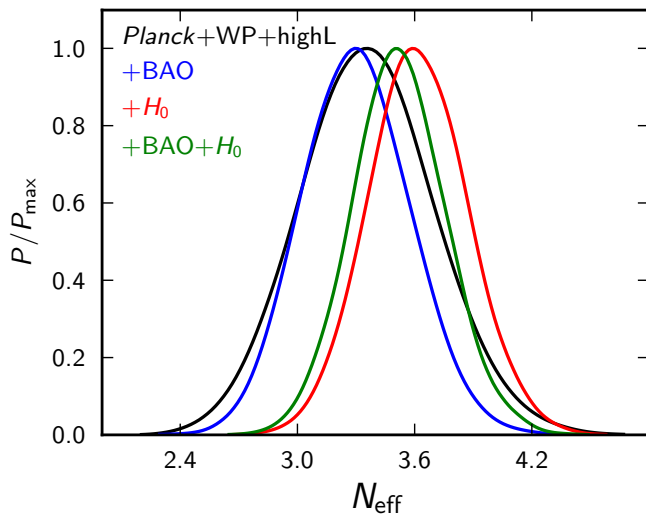
Zur Interpretation der weiteren Peaks im Power-Spektrum



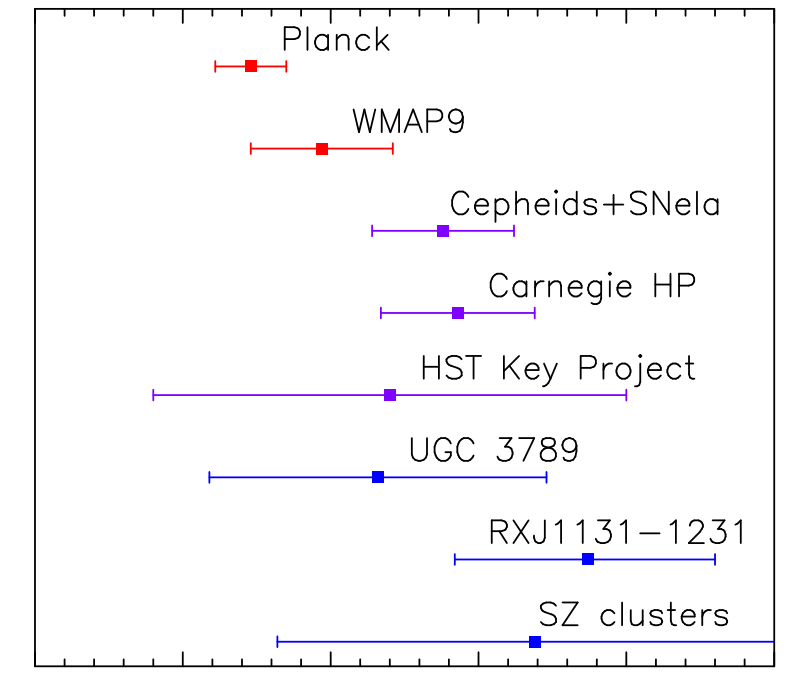
Planck-Satellit 2013: Kosmologische Schlussfolgerungen



Dunkle Energie
 Ω_Λ versus
Materie Ω_m



Anzahl der Neutrino-Flavours N_{eff}



H_0 [$\text{km s}^{-1} \text{Mpc}^{-1}$]

Hubble-Konstante H_0

- ◆ Einführung in die Kosmologie
- ◆ Weltmodelle und kosmologische Inflation
- ◆ Thermische Geschichte des Universums
- ◆ Urknall-Nukleosynthese
- ◆ **Dunkle Energie, dunkle Materie und die beschleunigte Expansion des Universums**
- ◆ Kosmische Mikrowellen-Hintergrundstrahlung
- ◆ **Supernovae als kosmische Standardkerzen**
- ◆ Neutronensterne
- ◆ Entstehung und Nachweis kosmischer Strahlung
- ◆ Altersbestimmung des Universums
- ◆ Fundamentale Physik und die Sonne



TECHNISCHE
UNIVERSITÄT
DRESDEN

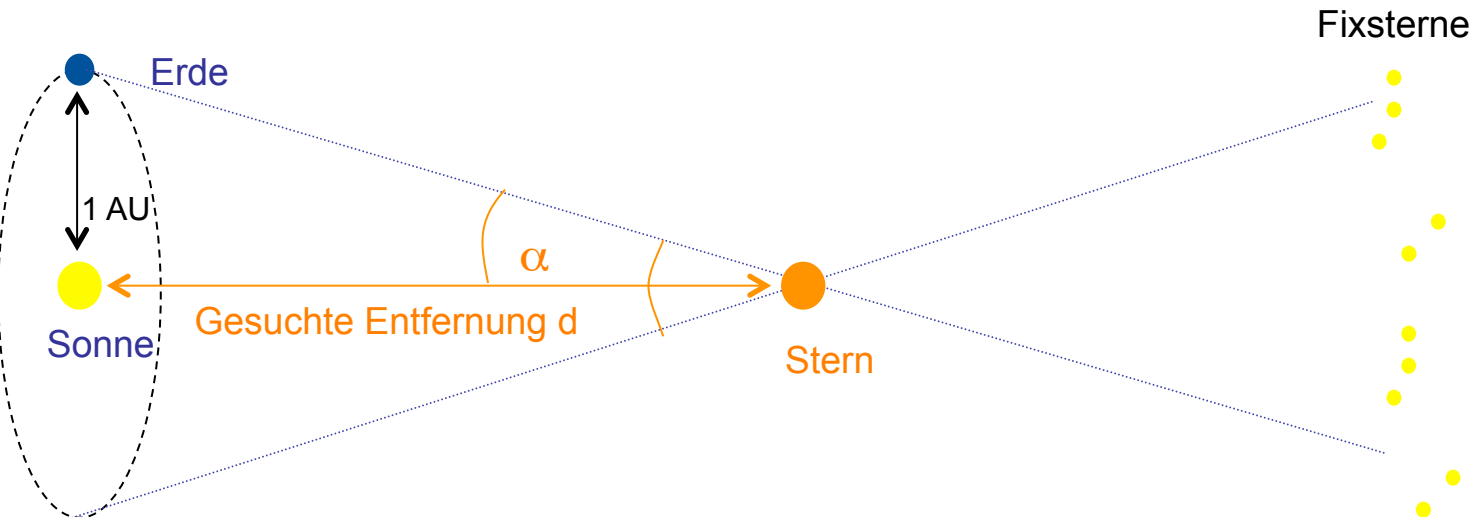
DRESDEN
concept



HZDR

Entfernungsmessung mittels Parallaxe, Prinzip

Mittlerer
Erdbahnradius
= 1 AU
(astronomical
unit)



$$d = \frac{1 \text{ AU}}{\tan \alpha}$$

- Gute Winkelauflösung vonnöten
- Lange Basislinie hilft (\rightarrow säkulare Parallaxe)
- Definition der Längeneinheit parsec (pc, Parallaxsekunde):
 $1 \text{ pc} = 1 \text{ AU} / \tan 1''$ (Bogensekunde) $= 2.06 * 10^5 \text{ AU} = 3.26 \text{ Lichtjahre}$
- 1838 von Bessel auf 61 Cyg angewendet: $\alpha = 0.314''$
 $d = 1 / 0.314 \text{ pc} = 3.18 \text{ pc} = 10.4 \text{ Lichtjahre}$

Bestimmung der Entfernung des 61^{sten} Sterns des Schwans. Von Herrn Geheimen-Rath und Ritter Bessel.

Als es Bradley gelungen war, seine Beobachtungen in *Kew* und *Wansted*, welche die Entdeckungen der Aberration und Nutation herbeiführten, durch diese allein genügend zu erklären, ohne dazu der Annahme einer jährlichen Parallaxe der beob-

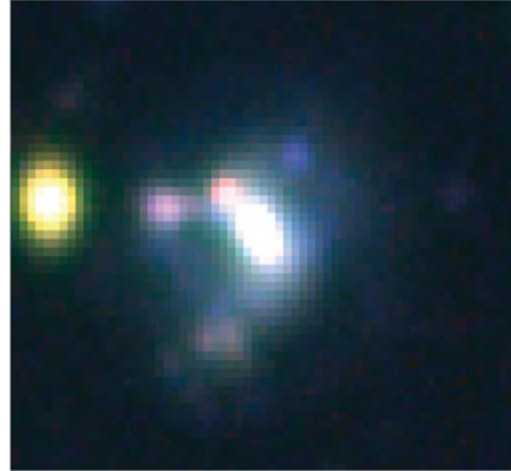
ist nicht zu bezweifeln; allein wenn eine Untersuchung über die jährliche Parallaxe eines Fixsterns unternommen werden soll, so sind sie dennoch die einzigen, welche seine Wahl leiten können.

Entfernungsmessung mittels Parallaxe, moderne Anwendung

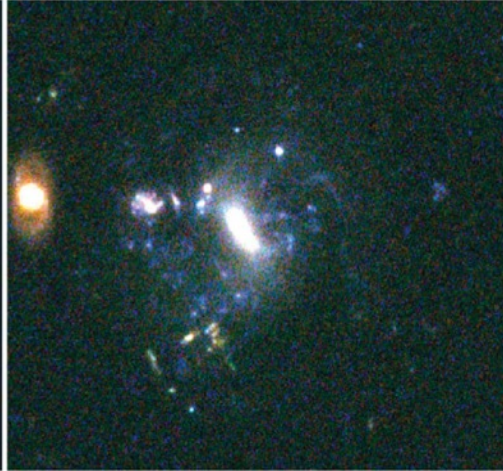


Parallaxenmessungen mit Hubble Space Telescope, auf 10^{-4} Bogensekunden genau:
G. Benedict et al., Astron. J. 133, 1810 (2007)

Erdgestützt (8 m)

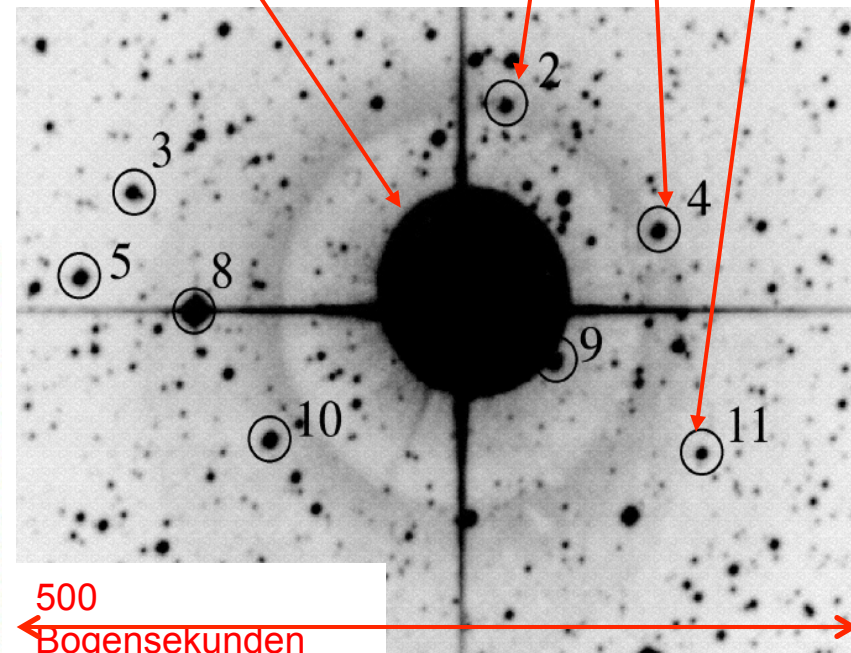


Hubble-Satellit (2.4 m)



Zu bestimmender
variabler Stern (I Car)

Referenzsterne
2-11



Karte aus Digital Sky Survey (nur zur Illustration)



TECHNISCHE
UNIVERSITÄT
DRESDEN

DRESDEN
concept



HZDR

Entfernungsmessung mittels Standardkerze: Prinzip



- Quadratisches Abstandsgesetz: $\Phi \sim d^{-2}$
- Helligkeit in Magnituden m : $m = -2.5 \log_{10} \Phi + C$
- Referenzstern in 10 pc Abstand: Fluss Φ_0 , Helligkeit M

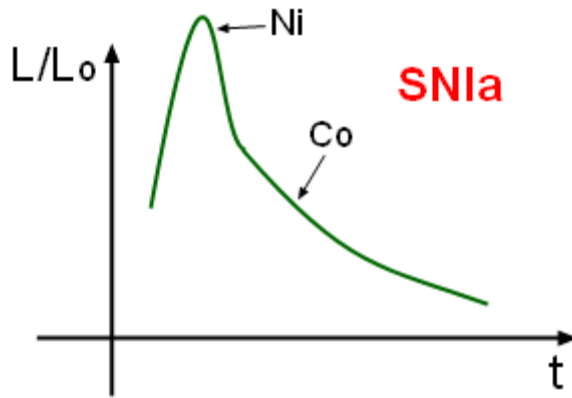
$$d = 10 \text{ pc} \cdot 10^{(m-M)/5}$$

Standardkerzen mit empirischer Kalibrierung sind zum Beispiel:

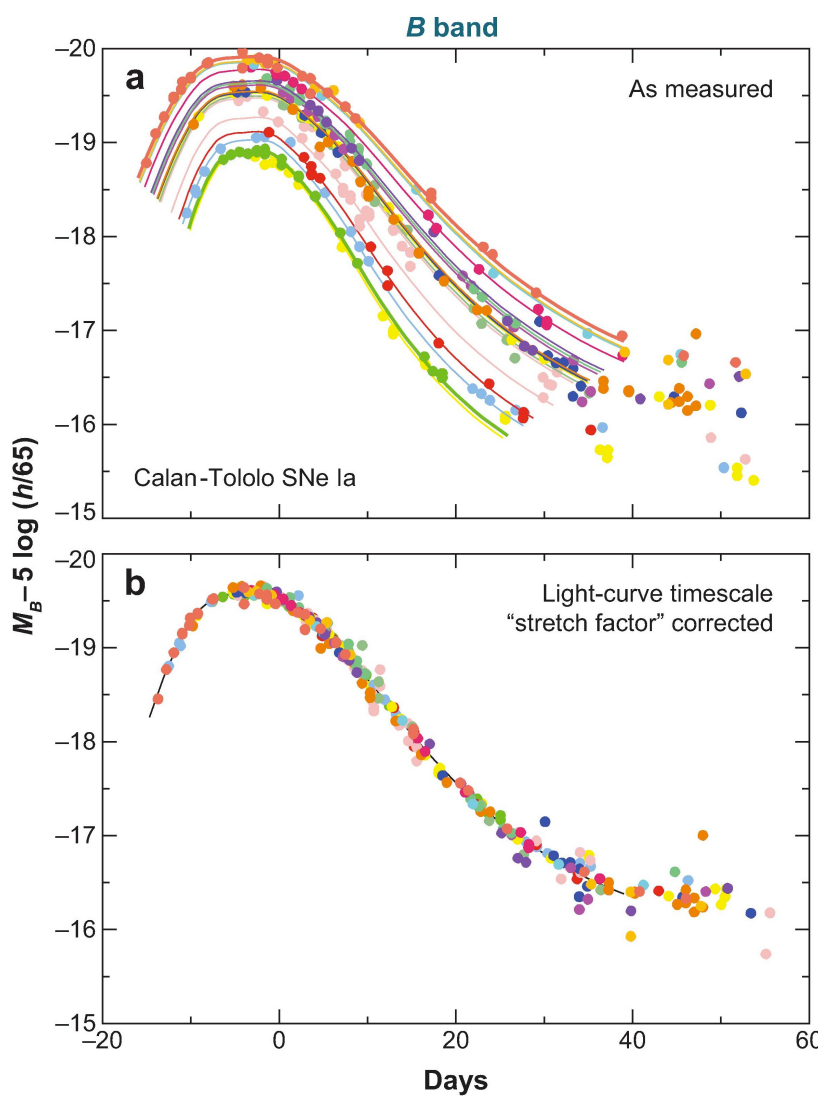
- Veränderliche Sterne (Cepheiden, M hängt linear von der Periode ab)
- Supernovae vom Typ Ia (Helligkeit M im Maximum hängt von der Form der Lichtkurve ab)

Standardisierung der Lichtkurve von Supernovae Ia

- Untersuchung einer Vielzahl von Supernovae vom Typ Ia
- Sehr helle, recht häufig auftretende Ereignisse
- Kalibrierung anhand der Form der Lichtkurve

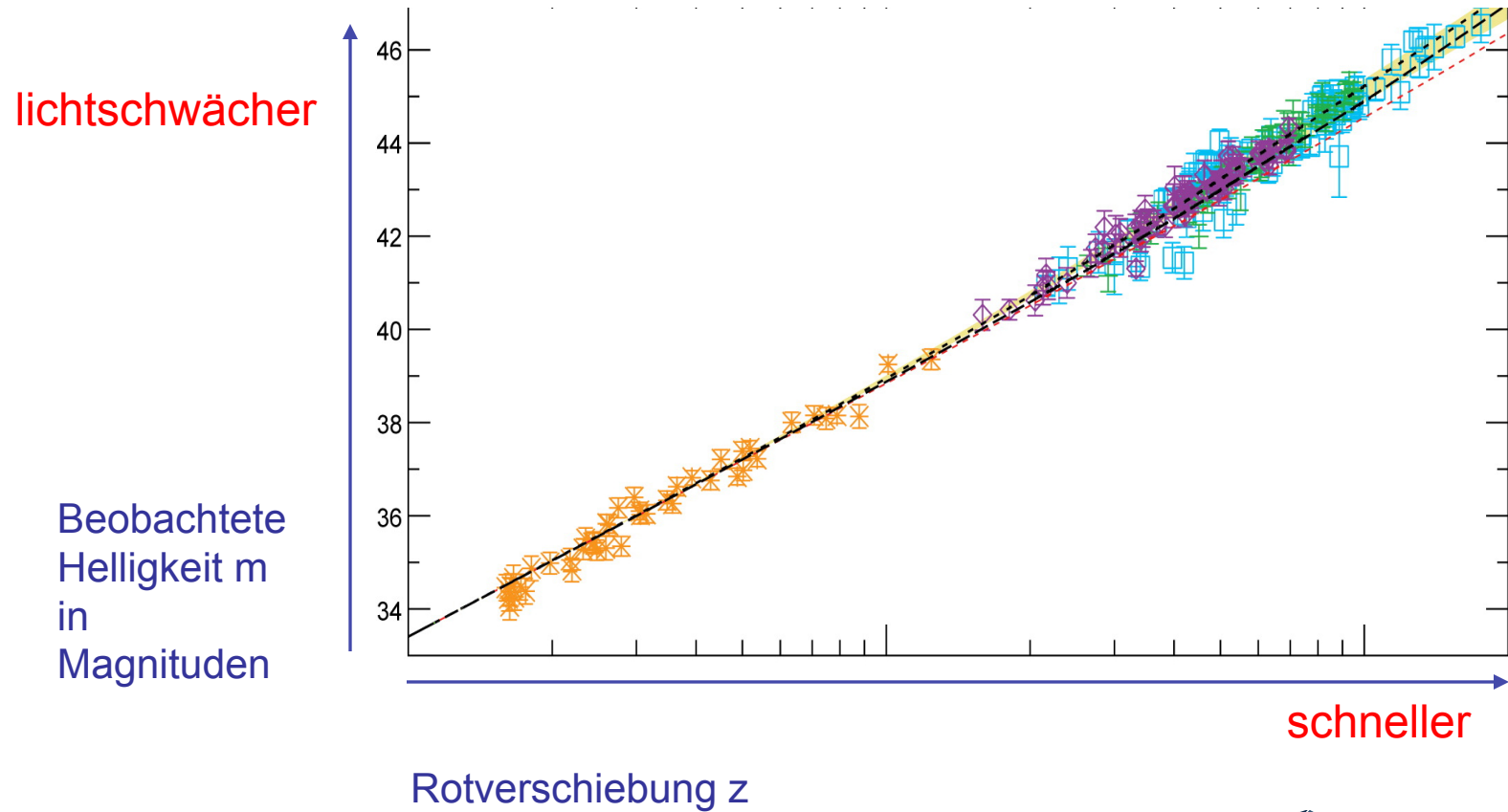


S	56Ni 6.075 D ε: 100.00%	57Ni 35.60 H ε: 100.00%	58Ni STABLE 68.077%	70
IS	55Co 17.53 H ε: 100.00%	56Co 77.236 D ε: 100.00%	57Co 271.74 D ε: 100.00%	
%	54Fe STABLE 5.845%	55Fe 2.744 Y ε: 100.00%	56Fe STABLE 91.754%	
	53Mn 3.74E+6 Y	54Mn 312.12 D	55Mn STABLE	

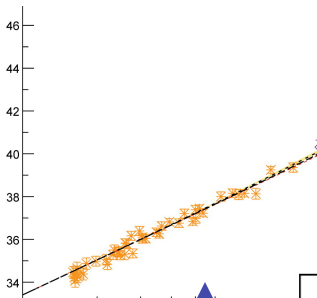


Entfernungsmessung mittels Standardkerze: Supernova Ia

- Supernova vom Typ Ia = Weißer Zwerg, der Material von einem Begleitstern ansaugt
- Explosives Kohlenstoff- und Sauerstoff-Brennen
- Sehr helle, recht häufig auftretende Ereignisse
- Referenzhelligkeit M empirisch kalibrierbar (durch Lichtkurve, Infrarotemission)



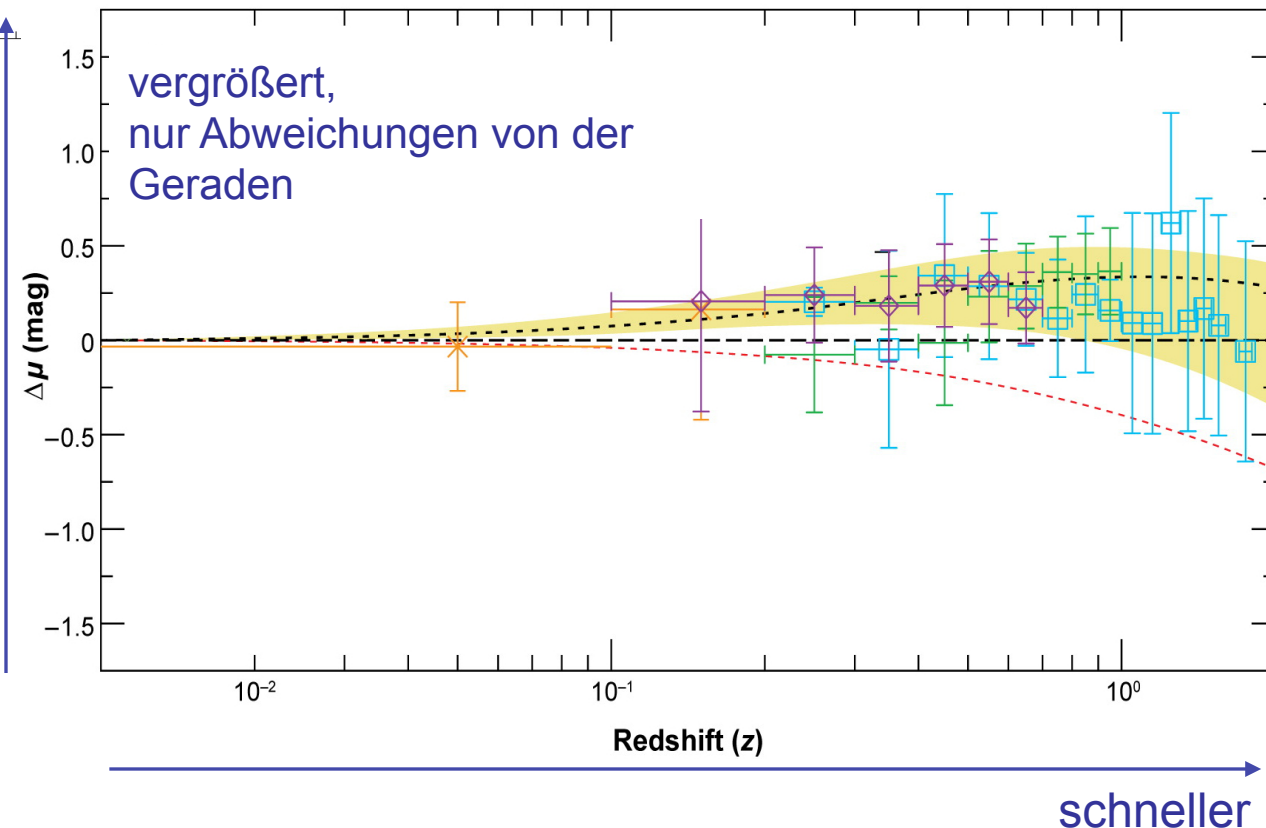
Entfernungsmessung und Kosmologie (1)



Weit entfernte Supernovae sind
lichtschwächer als erwartet!
Evidenz für eine kosmologische
Konstante $\Omega_\Lambda > 0$.

$$\frac{\ddot{a}}{a} = -\frac{4\pi G}{3c^2}(\rho c^2 + 3p)$$

Licht-
schwächer

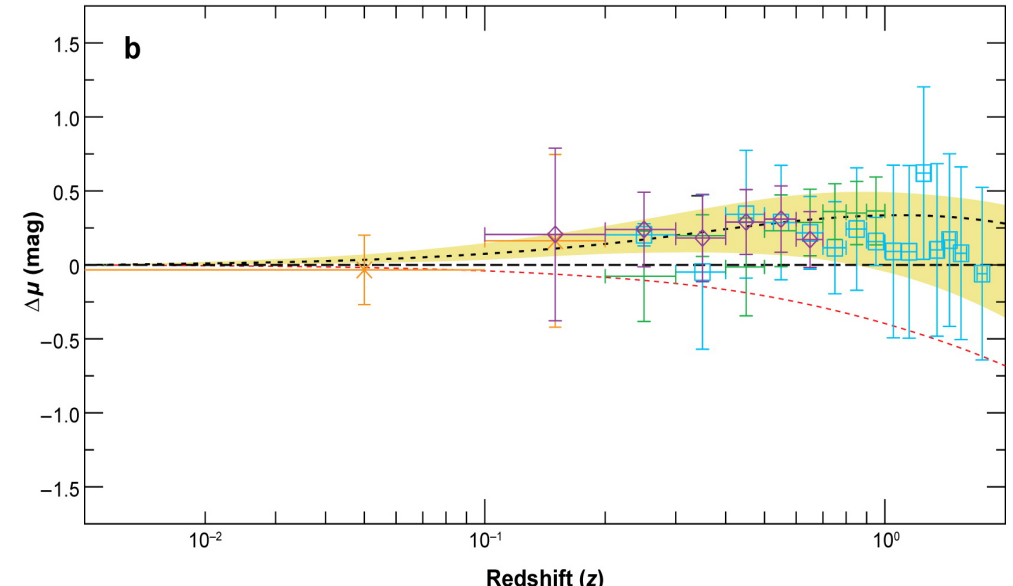


$$\Omega_M = 0.3, \Omega_\Lambda = 0.7$$

$$\Omega_M = 0.3, \Omega_\Lambda = 0.0$$

$$\Omega_M = 1.0, \Omega_\Lambda = 0.0$$

Entfernungsmessung und Kosmologie (2)



$$\frac{\ddot{a}}{a} = -\frac{4\pi G}{3c^2}(\rho c^2 + 3p)$$

Physik-Nobelpreis 2011 für diese Entdeckung!



Saul Perlmutter

Credit: Lawrence Berkeley Nat'l Lab
Roy Kalschmidt, photographer



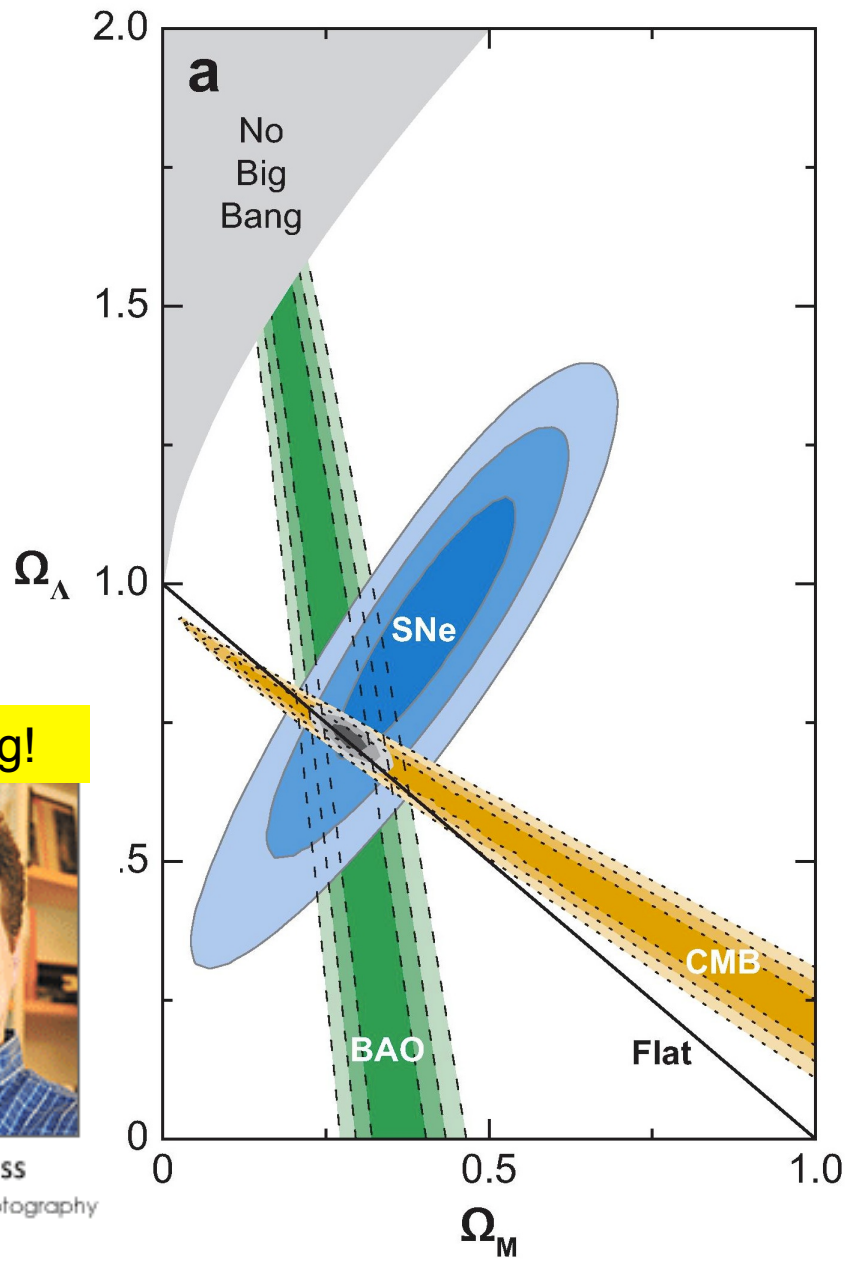
Brian P. Schmidt

Credit: Research School of
Astronomy and Astrophysics,
Australian National University



Adam G. Riess

Credit: Homewood Photography



- ◆ Einführung in die Kosmologie
- ◆ Weltmodelle und kosmologische Inflation
- ◆ Thermische Geschichte des Universums
- ◆ Urknall-Nukleosynthese
- ◆ Dunkle Energie, dunkle Materie und die beschleunigte Expansion des Universums
- ◆ Kosmische Mikrowellen-Hintergrundstrahlung
- ◆ Supernovae als kosmische Standardkerzen
- ◆ Neutronensterne
- ◆ **Entstehung und Nachweis kosmischer Strahlung**
- ◆ Altersbestimmung des Universums
- ◆ Fundamentale Physik und die Sonne



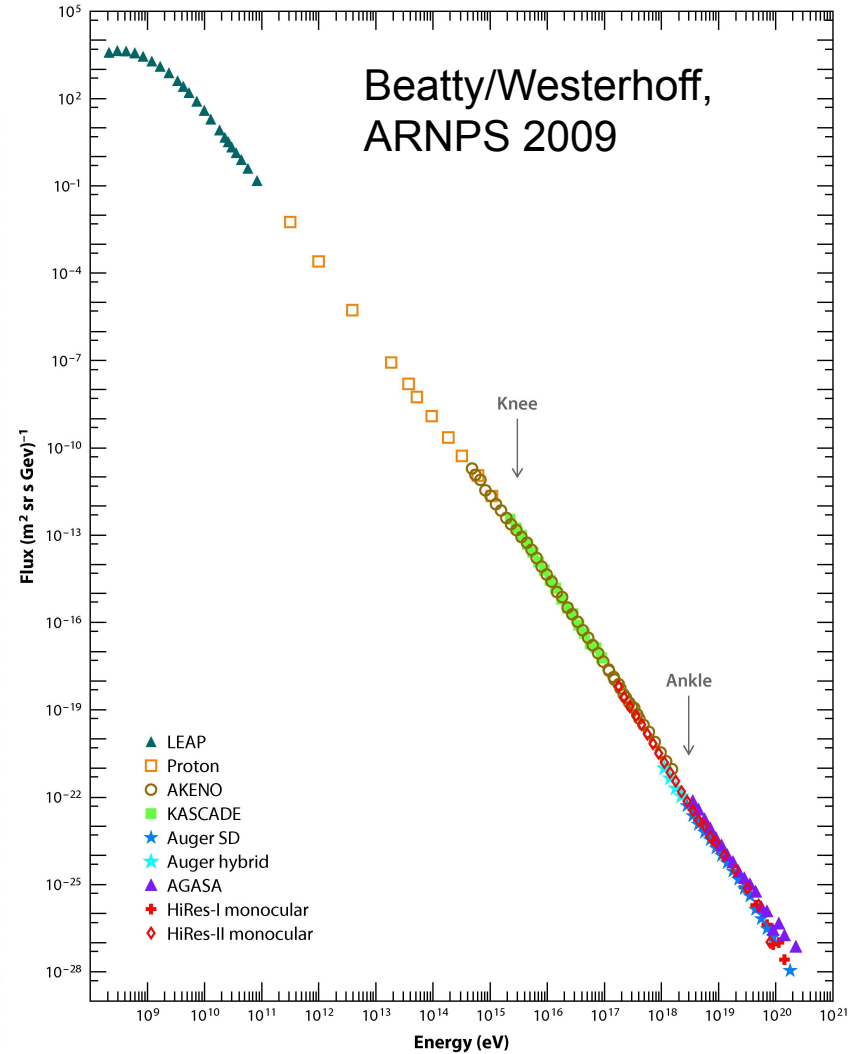
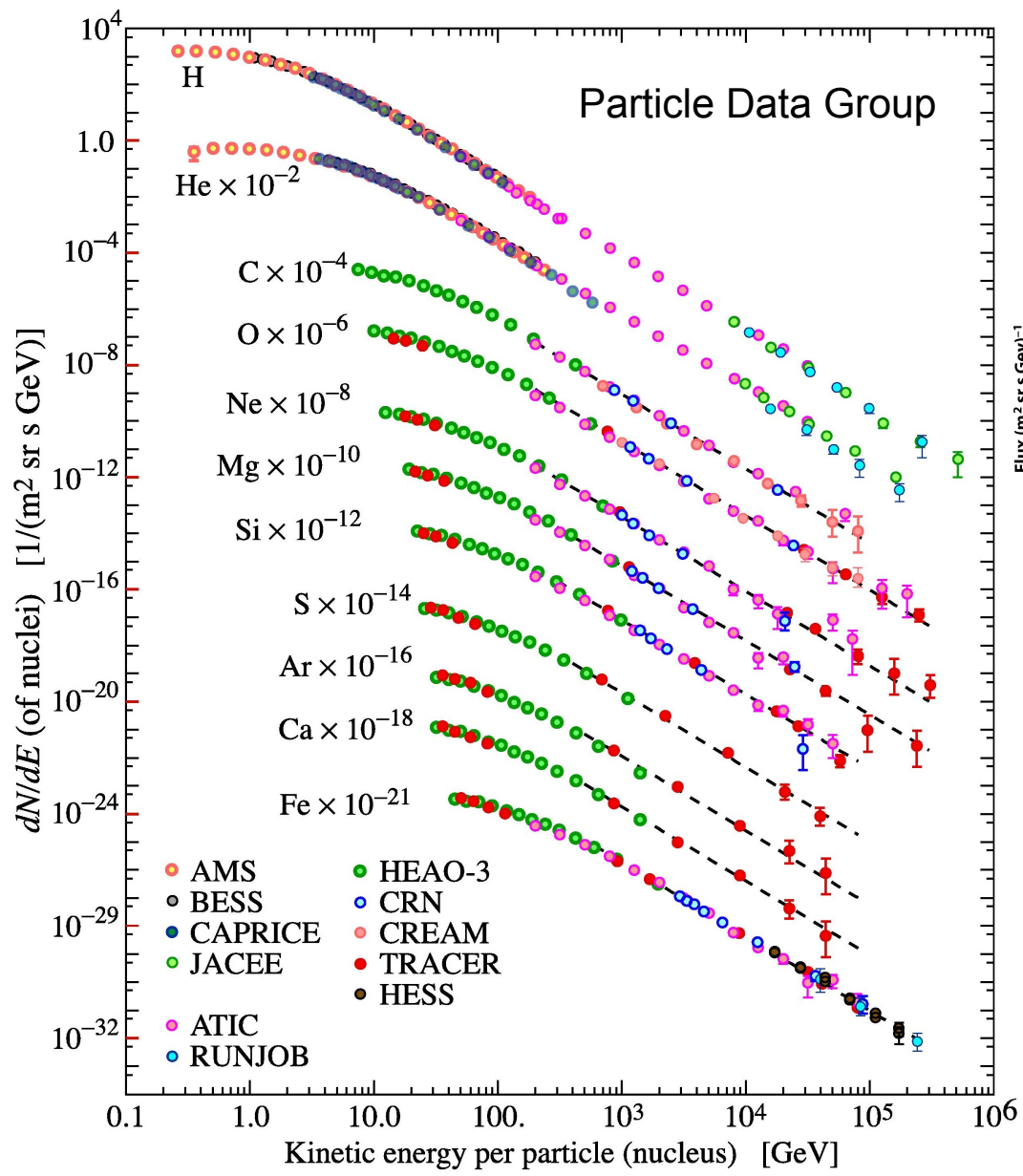
TECHNISCHE
UNIVERSITÄT
DRESDEN

DRESDEN
concept

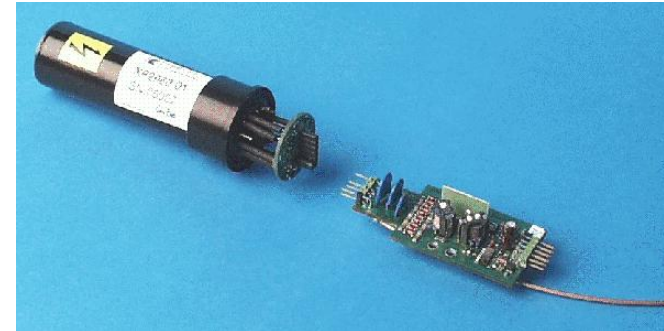


HZDR

Spektrum der kosmischen Strahlung



HESS - Gammastrahlungsdetektor in Namibia



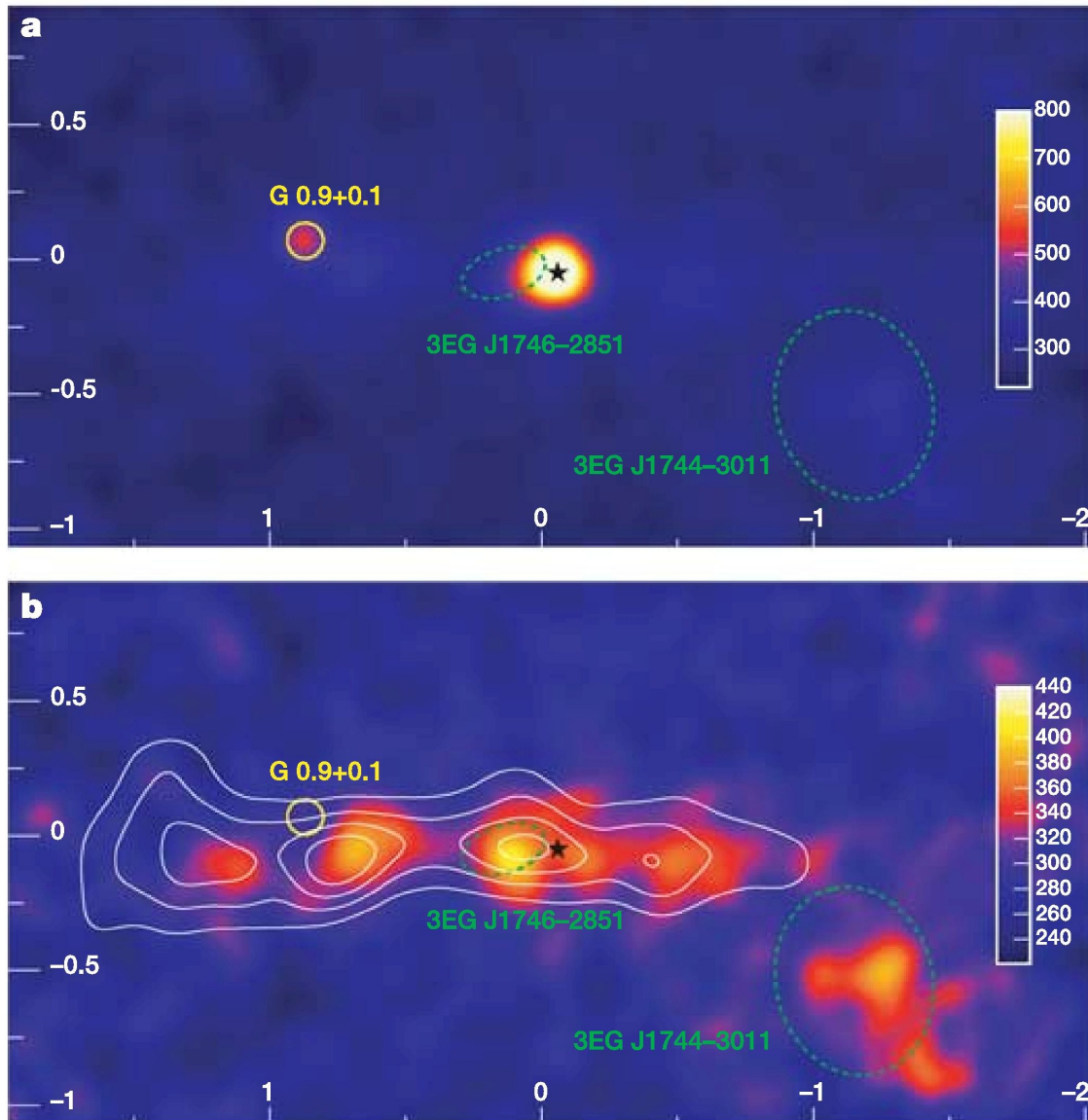
TECHNISCHE
UNIVERSITÄT
DRESDEN

DRESDEN
concept



HZDR

Hochenergetische γ -Strahlen aus dem Zentrum der Milchstraße



HESS, Nature (2006)



TECHNISCHE
UNIVERSITÄT
DRESDEN

DRESDEN
concept



HZDR

- ◆ Einführung in die Kosmologie
- ◆ Weltmodelle und kosmologische Inflation
- ◆ Thermische Geschichte des Universums
- ◆ Urknall-Nukleosynthese
- ◆ Dunkle Energie, dunkle Materie und die beschleunigte Expansion des Universums
- ◆ Kosmische Mikrowellen-Hintergrundstrahlung
- ◆ Supernovae als kosmische Standardkerzen
- ◆ Neutronensterne
- ◆ Entstehung und Nachweis kosmischer Strahlung
- ◆ **Altersbestimmung des Universums**
- ◆ Fundamentale Physik und die Sonne



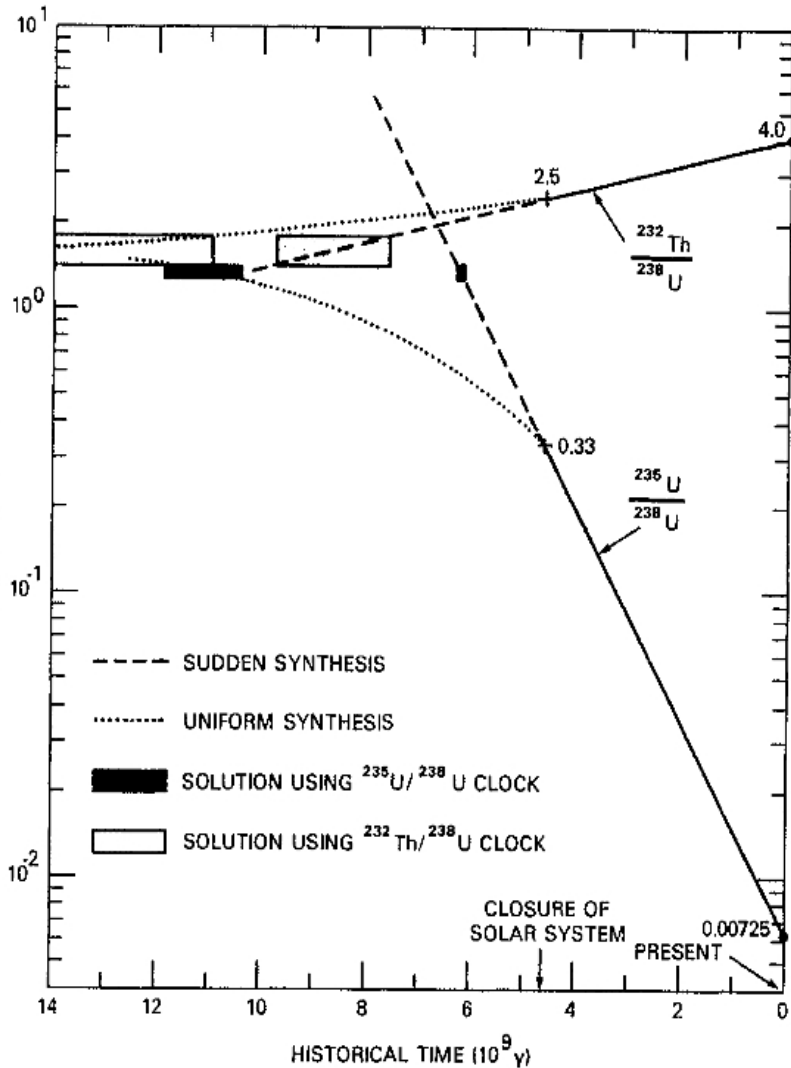
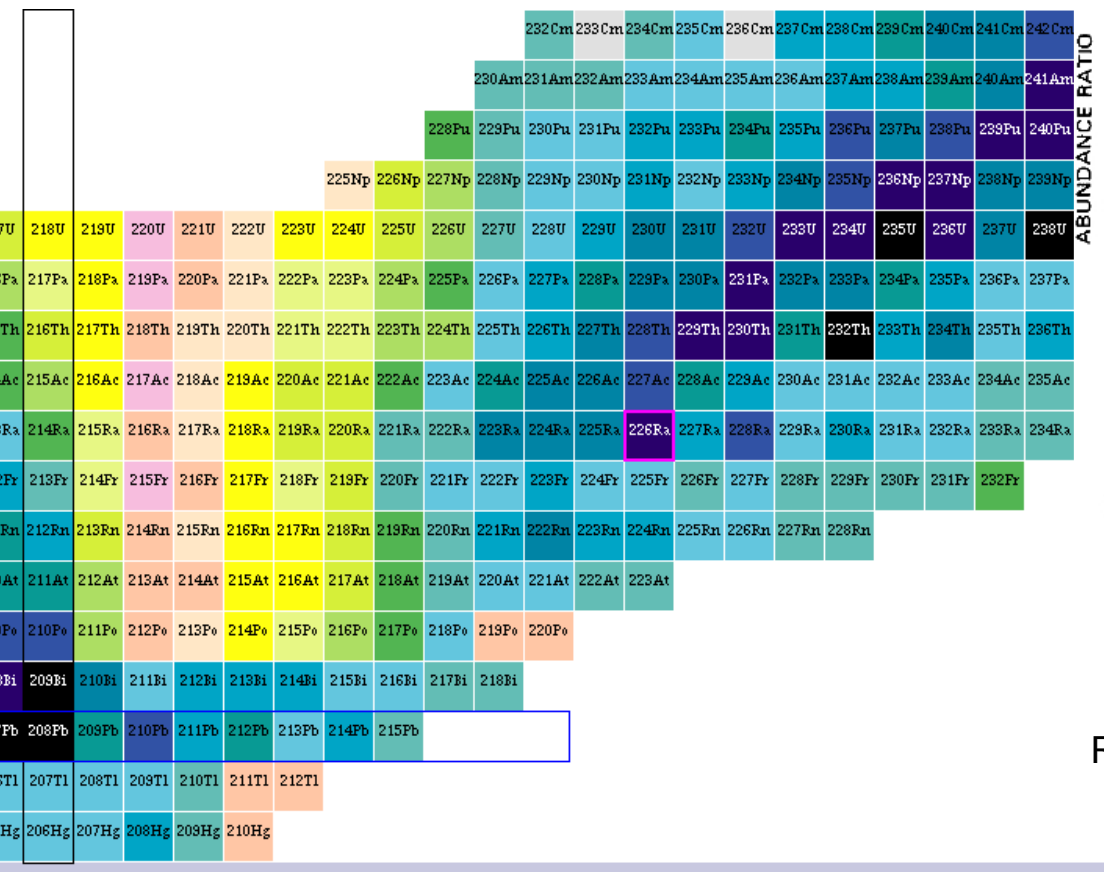
TECHNISCHE
UNIVERSITÄT
DRESDEN

DRESDEN
concept



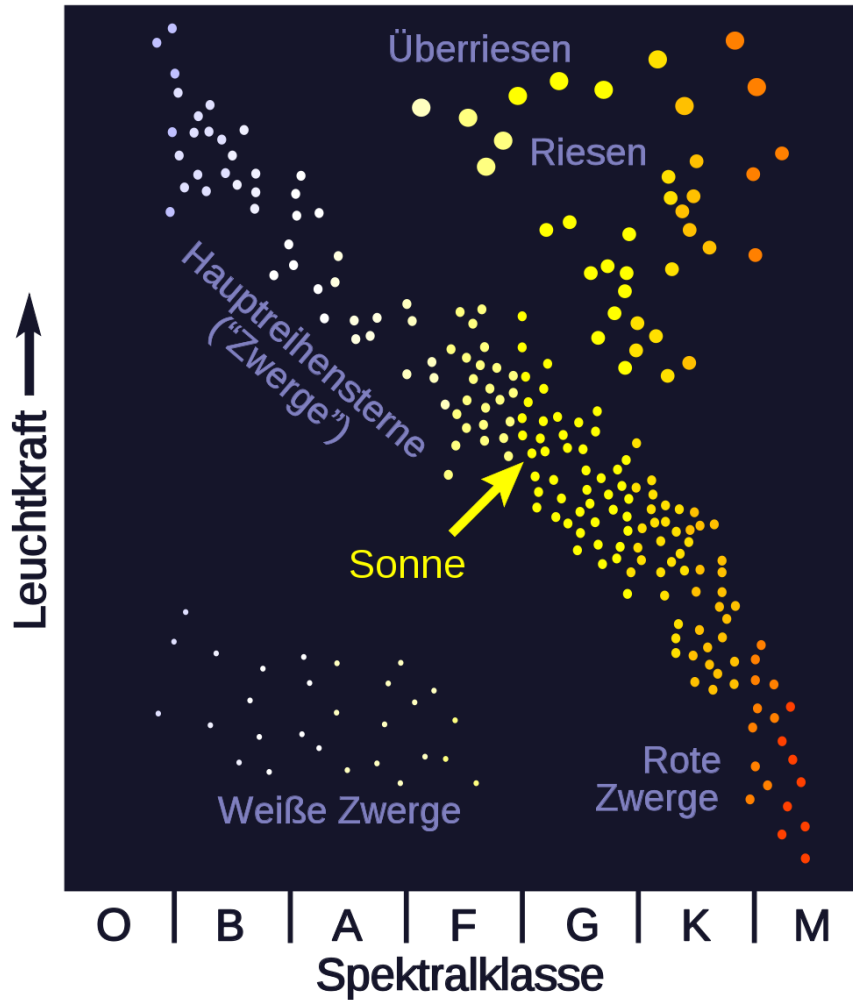
HZDR

Nukleokosmochronologie

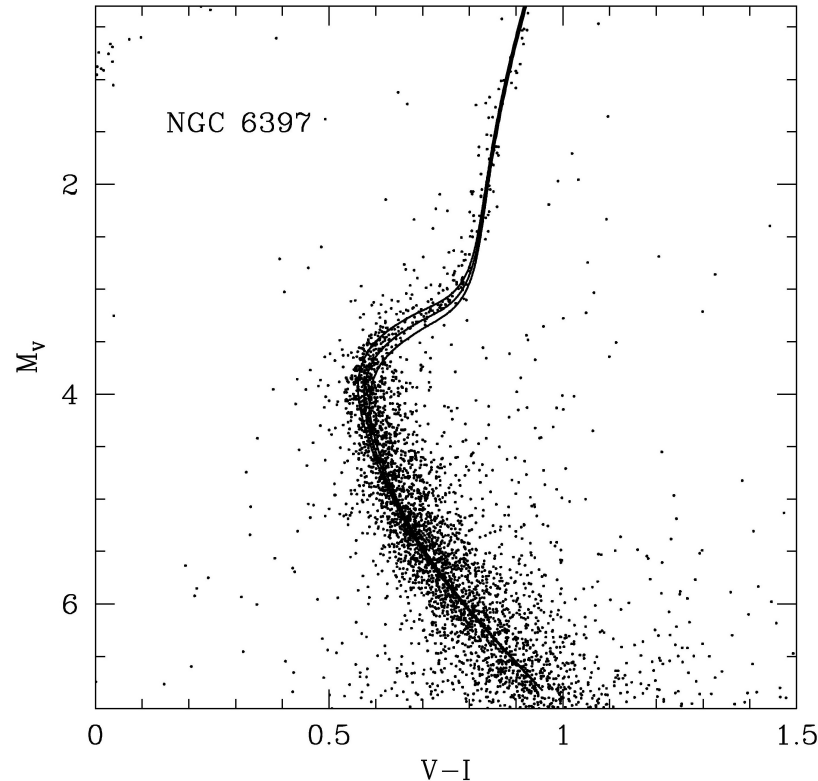


Rolfs/Rodney, Cauldrons in the Cosmos, 1988

Altersbestimmung sehr alter Sterne (in Kugelsternhaufen)



→ Hertzsprung-Russel-Diagramm, Abzweigen von der Hauptreihe



- ◆ Einführung in die Kosmologie
- ◆ Weltmodelle und kosmologische Inflation
- ◆ Thermische Geschichte des Universums
- ◆ Urknall-Nukleosynthese
- ◆ Dunkle Energie, dunkle Materie und die beschleunigte Expansion des Universums
- ◆ Kosmische Mikrowellen-Hintergrundstrahlung
- ◆ Supernovae als kosmische Standardkerzen
- ◆ Neutronensterne
- ◆ Entstehung und Nachweis kosmischer Strahlung
- ◆ Altersbestimmung des Universums
- ◆ **Fundamentale Physik und die Sonne**



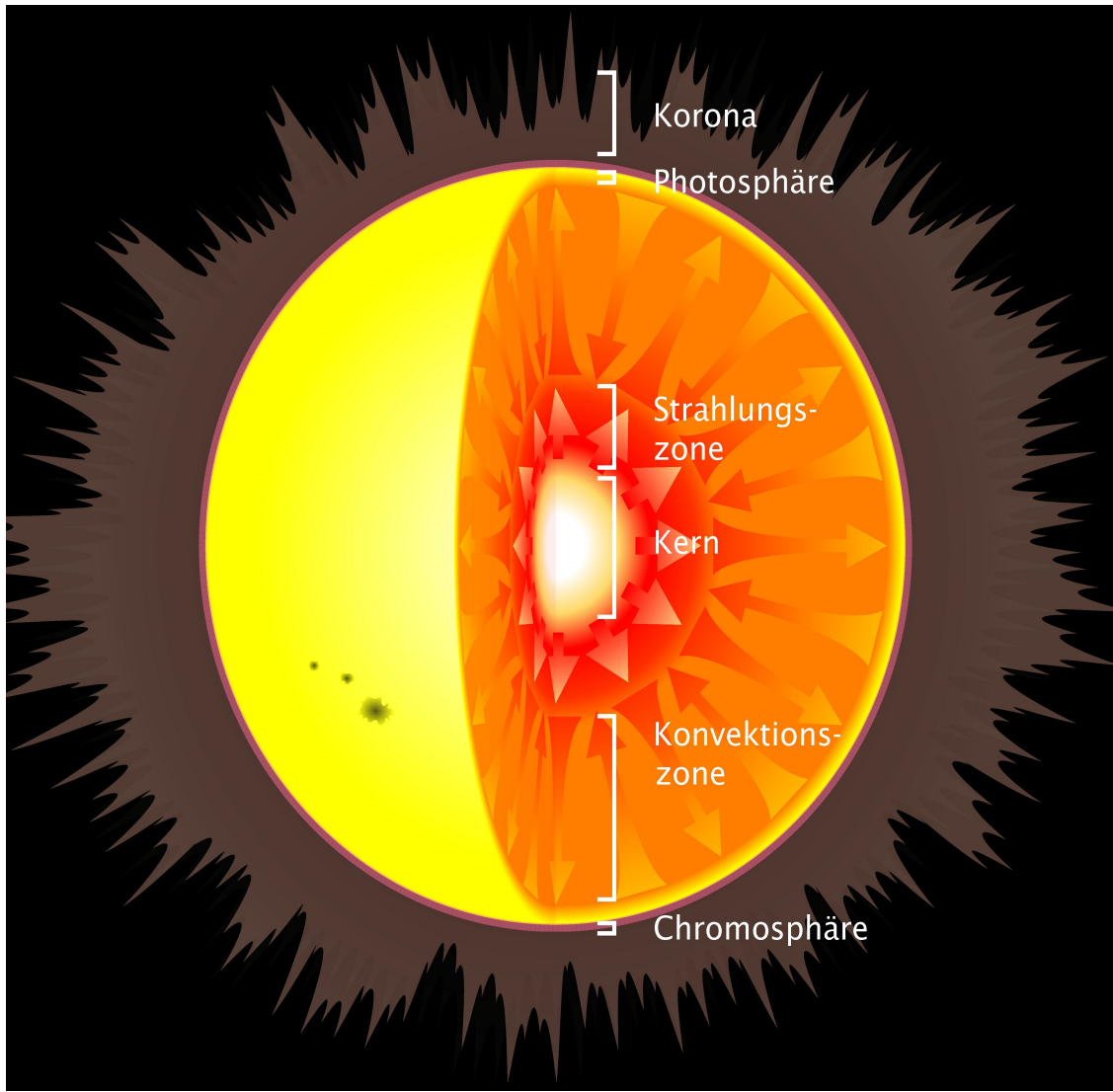
TECHNISCHE
UNIVERSITÄT
DRESDEN

DRESDEN
concept

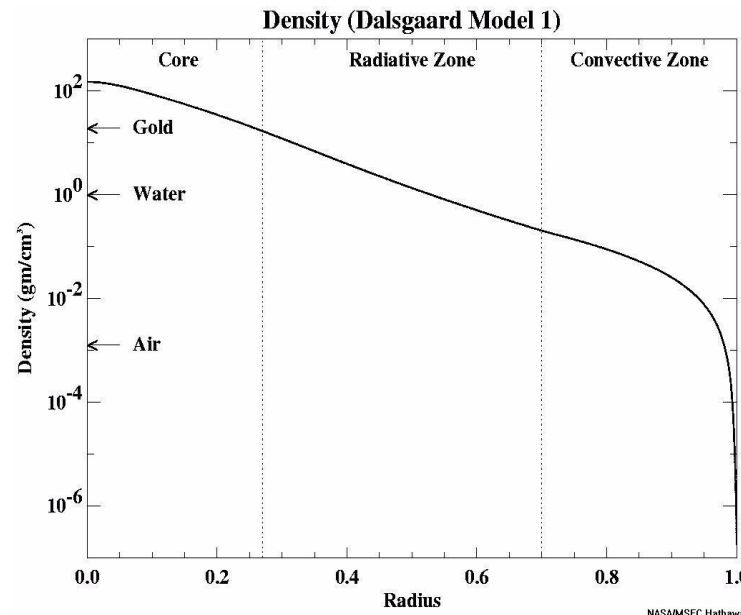


HZDR

Aufbau der Sonne (in Klammern: Observable)



- Korona
- Chromosphäre
- Photosphäre
Fraunhofer-Linien
- Konvektionszone
p-Moden (Helioseismologie)
- Strahlungszone
- Kern
Neutrinos



TECHNISCHE
UNIVERSITÄT
DRESDEN

DRESDEN
concept

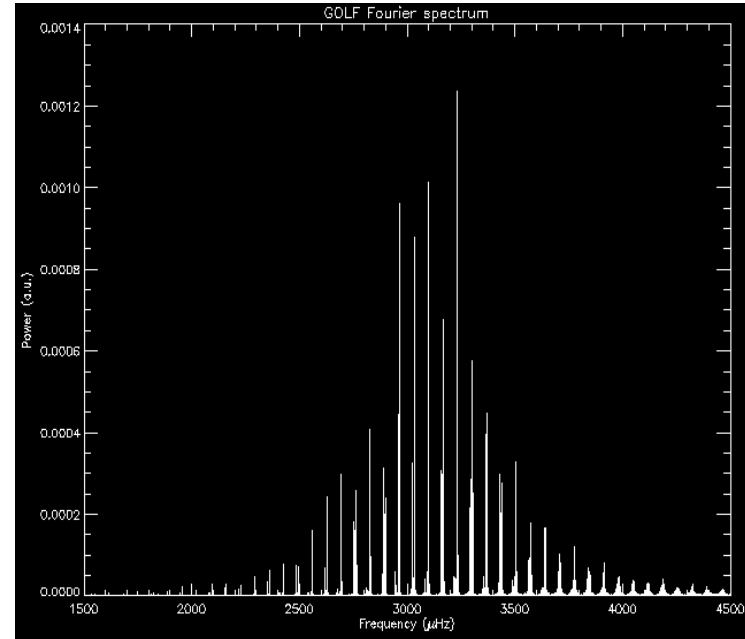
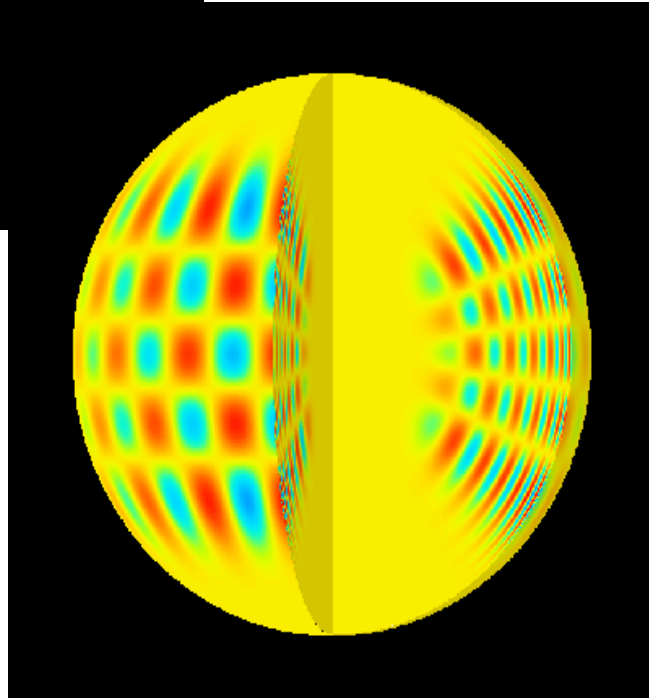


HZDR

Daten zur Sonne (1): Helioseismologie



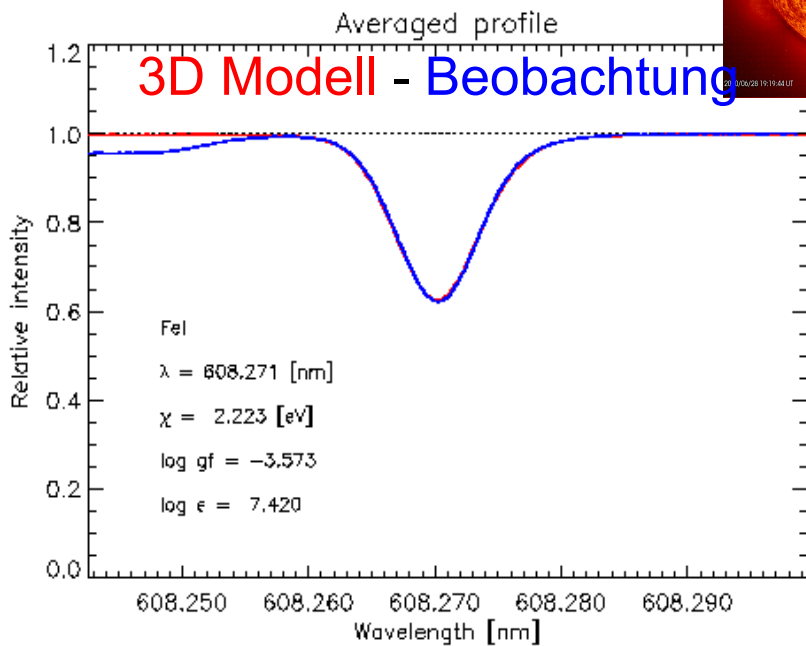
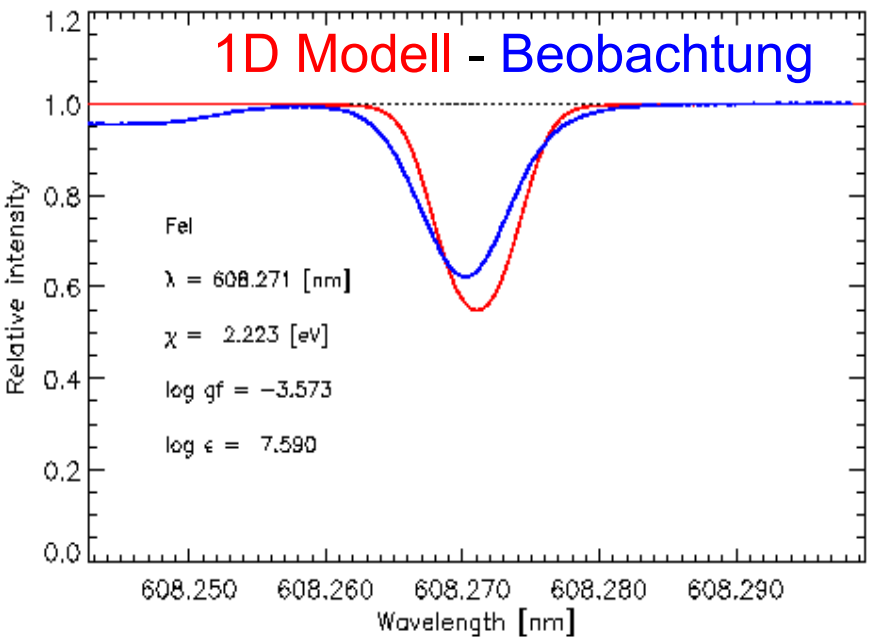
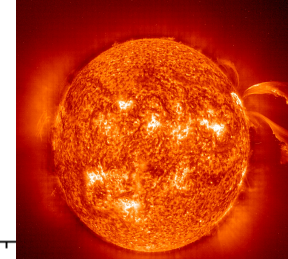
Satellit "SoHo"
(Solar and
Heliospheric
Observatory)



Fourierspektrum des
GOLF-Instruments auf
SoHo

Computergenerierte stehende
Wellen, p-mode ~ 3 mHz

Daten zur Sonne (2): Elementhäufigkeiten aus der modellgestützten Interpretation der Fraunhofer-Linien



M. Asplund



3-dimensionale Modelle der Photosphäre passen besser zur Beobachtung, liefern geringere Elementhäufigkeiten:

- 1D: 2.29% der Sonnenmasse sind "Metalle" (Li...U)
- 3D: 1.78% der Sonnenmasse sind "Metalle" (Li...U)

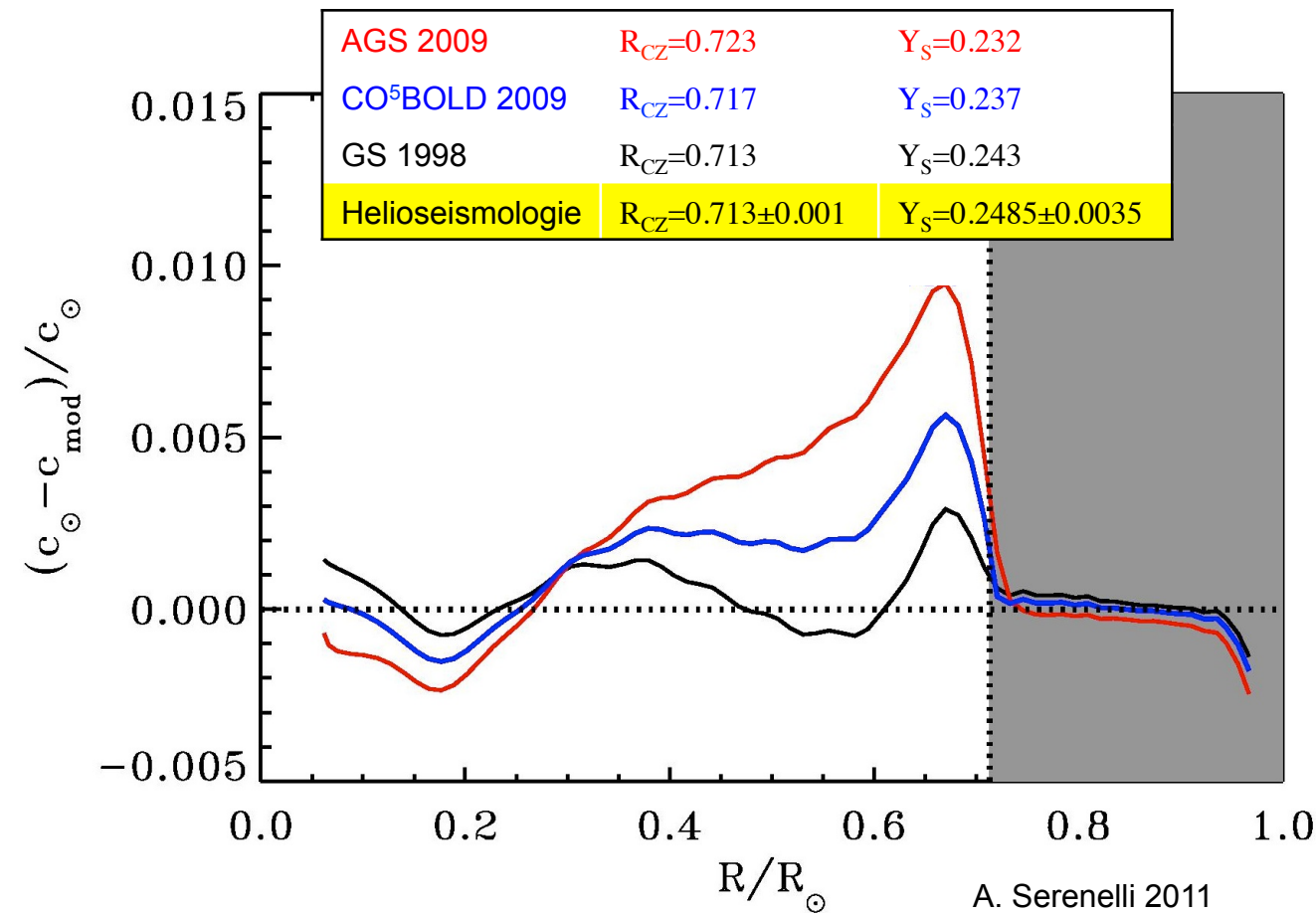
Problem:

Widerspruch zwischen neuem Sonnenmodell und Helioseismologie

Standard-Sonnenmodell,
gerechnet mit
verschiedenen
Elementhäufigkeiten.

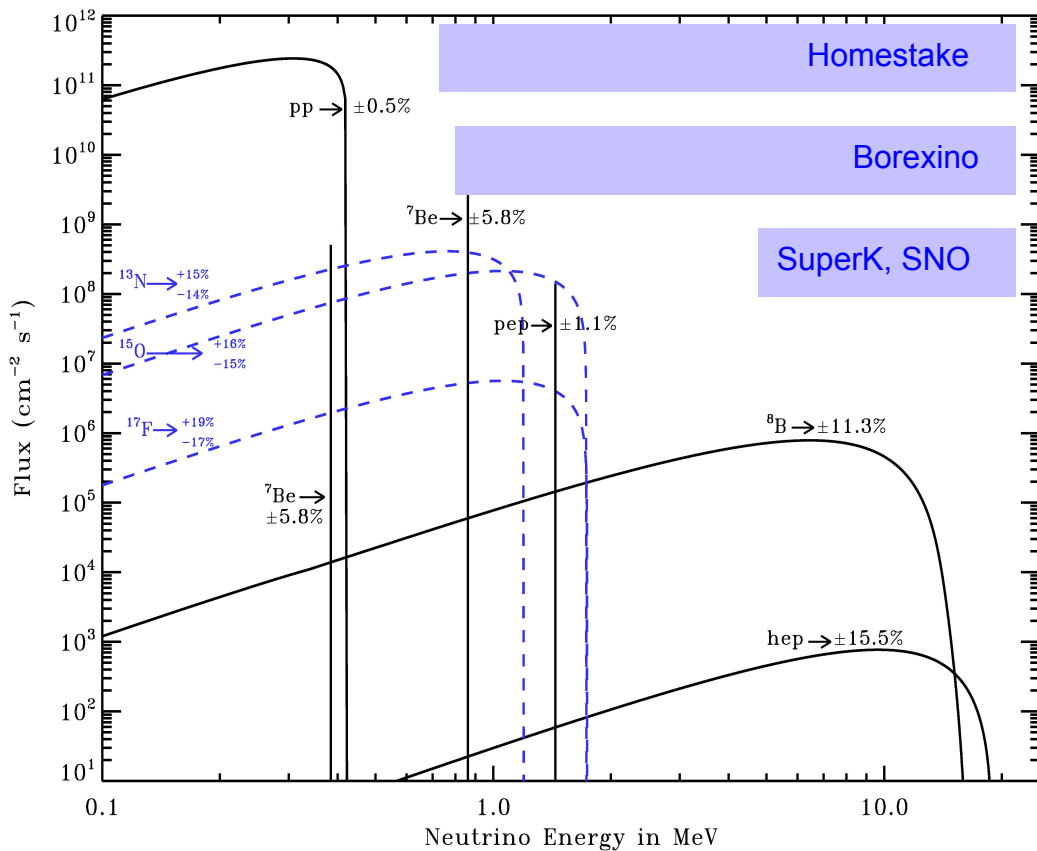
Observable, die
helioseismologisch
überprüft werden können:

- c_{mod}
Schallgeschwindigkeit
- R_{CZ}
Tiefe der
Konvektionszone
- Y_s
Helium-Häufigkeit
in der Photosphäre



Neutrino-Vorhersagen des Standard-Sonnenmodells

Bahcall'sches Sonnenmodell, A. Serenelli et al. 2011: Zwei Versionen des Standard-Sonnenmodells



- GS 1998
Alte (<2005) Elementhäufigkeiten
Konsistent mit Helioseismologie
 $\Phi(^8\text{B}) = 5.58$ $\Phi(^{15}\text{O}) = 2.23$
- AGS 2009
Neue (>2005) Elementhäufigkeiten
Nicht konsistent mit Helioseismologie
 $\Phi(^8\text{B}) = 4.59$ $\Phi(^{15}\text{O}) = 1.56$

Neutrino-Flüsse in $10^6 / (\text{cm}^2 \text{s})$

Nachweis von Neutrinos aus der Sonne (1)



Homestake-Goldbergwerk (South Dakota / USA)

1500 m unter Tage

615 t Perchlorethylen (C_2Cl_4) als Detektor

${}^{37}Cl(\nu_e, e^-) {}^{37}Ar$ Schwelle $E_\nu > 814$ keV



Ray Davis Jr.
(Nobelpreis 2002)



Gemessen: 2.56 ± 0.23 SNU $1 \text{ SNU} = 10^{-36} \text{ Einfänge/(e}^- \text{s)}$



Sonnenmodell: 8.5 SNU

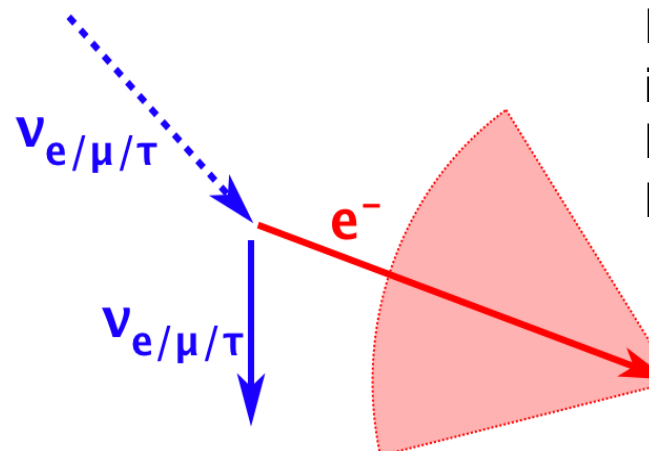
“Solares Neutrinoproblem”, 1972-2002

Nachweis von Neutrinos aus der Sonne (2)

Sudbury Neutrino Observatory SNO (Kanada):

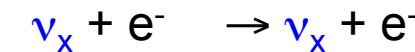


Schwerwasser-Tscherenkov-Zähler
1000 t D₂O , 2100 m unter Tage

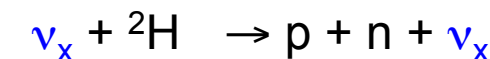


Tscherenkov-Kegel eines Elektrons, das schneller ist als die Lichtgeschwindigkeit im Medium ($n=1.33$).

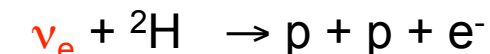
ES = Elastic scattering:



NC = neutral current:

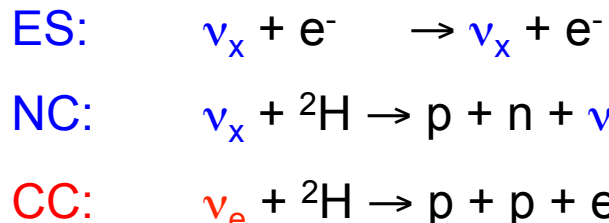


CC = charged current:



Die Lösung des solaren Neutrino-Problems, 2002

Sudbury Neutrino Observatory SNO (Kanada) weist direkt auch solare ν_μ , ν_τ nach.
Konzentration auf Neutrinos mit > 5 MeV Energie (hauptsächlich aus ^8B -Zerfall)



$$\Phi_{\text{ES}} = 2.39$$

$$\Phi_{\text{CC}} = 1.76$$

$$\Phi_{\text{NC}} = 5.09$$

Umformung

Sonnenmodell: 4.72...5.94

$$\phi_e = 1.76^{+0.05}_{-0.05}(\text{stat})^{+0.09}_{-0.09}(\text{syst}),$$

$$\phi_{\mu\tau} = 3.41^{+0.45}_{-0.45}(\text{stat})^{+0.48}_{-0.45}(\text{syst}),$$

$$\Phi_e + \Phi_{\mu\tau} = 5.17 \pm 0.67 \text{ (stat.+syst.)}$$

(Experiment, SNO)

Neutrino-Flüsse in $10^6/(\text{cm}^2 \text{s})$



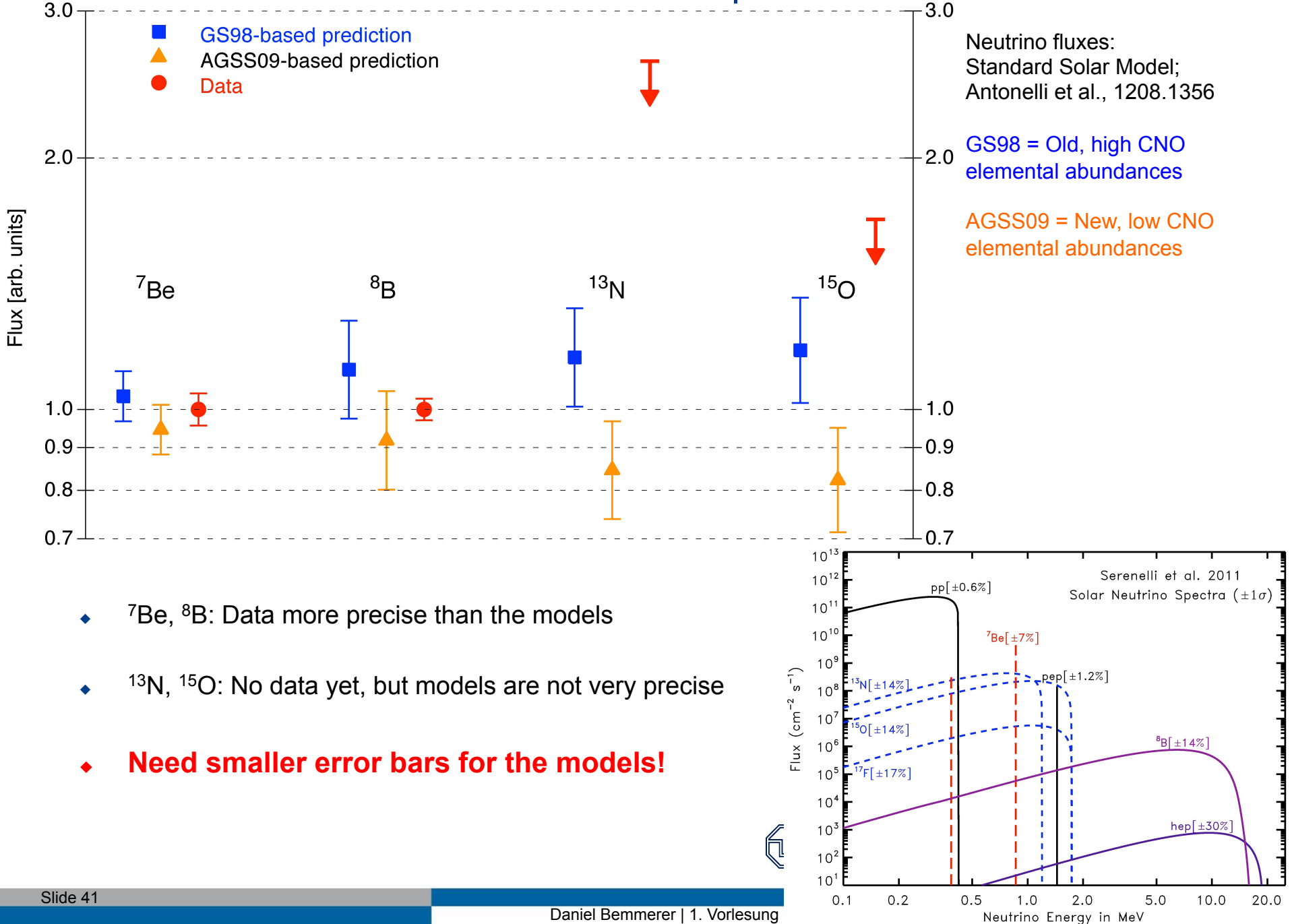
TECHNISCHE
UNIVERSITÄT
DRESDEN

DRESDEN
concept



HZDR

Solar neutrino fluxes: Data and model predictions



Low-energy data improve the situation!

State of the art, 2013

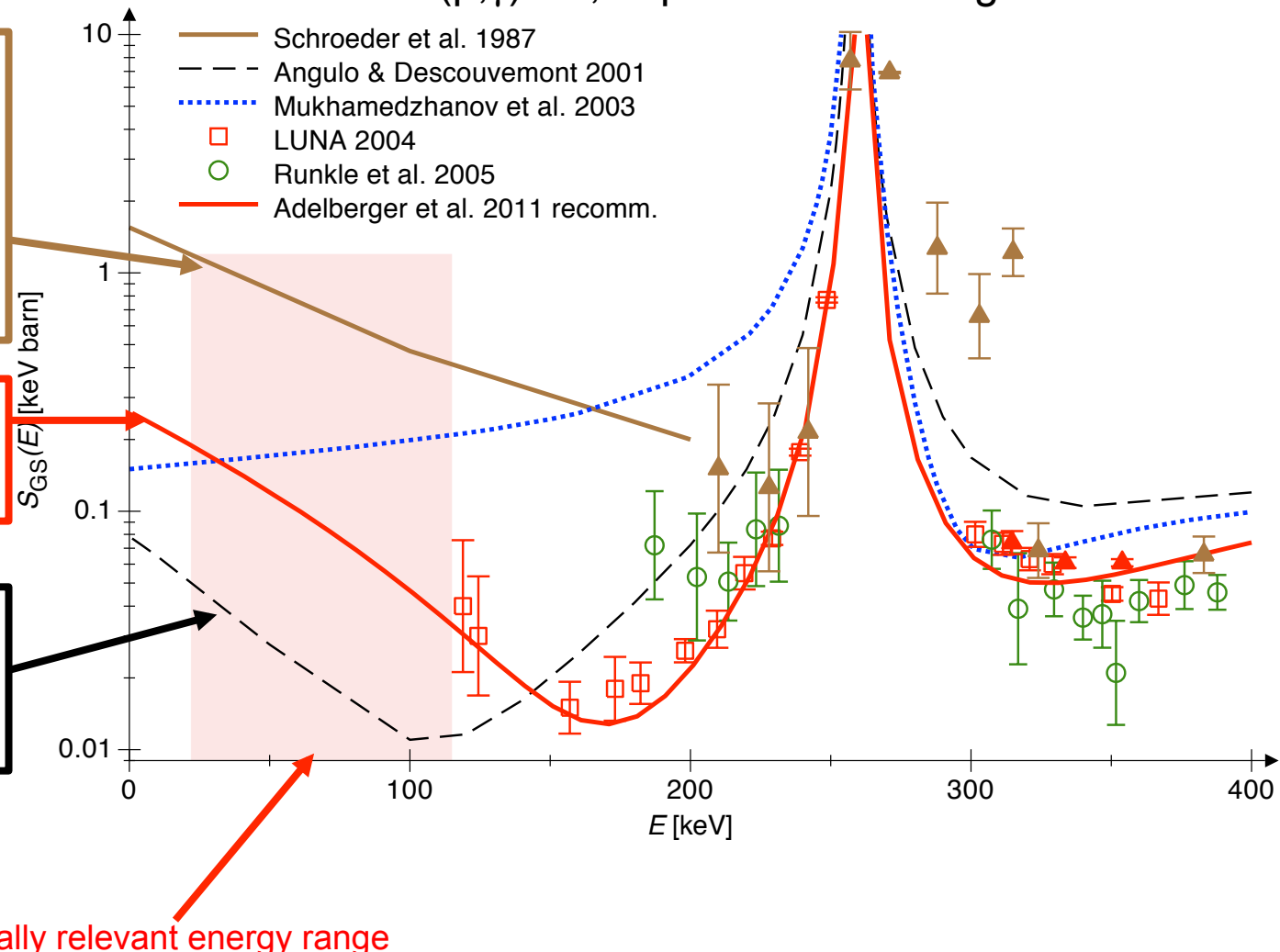
$^{14}\text{N}(\text{p},\gamma)^{15}\text{O}$, capture to the ^{15}O ground state

Schröder et al. 1987:
Ground state capture
contributes 50% of
total S factor.

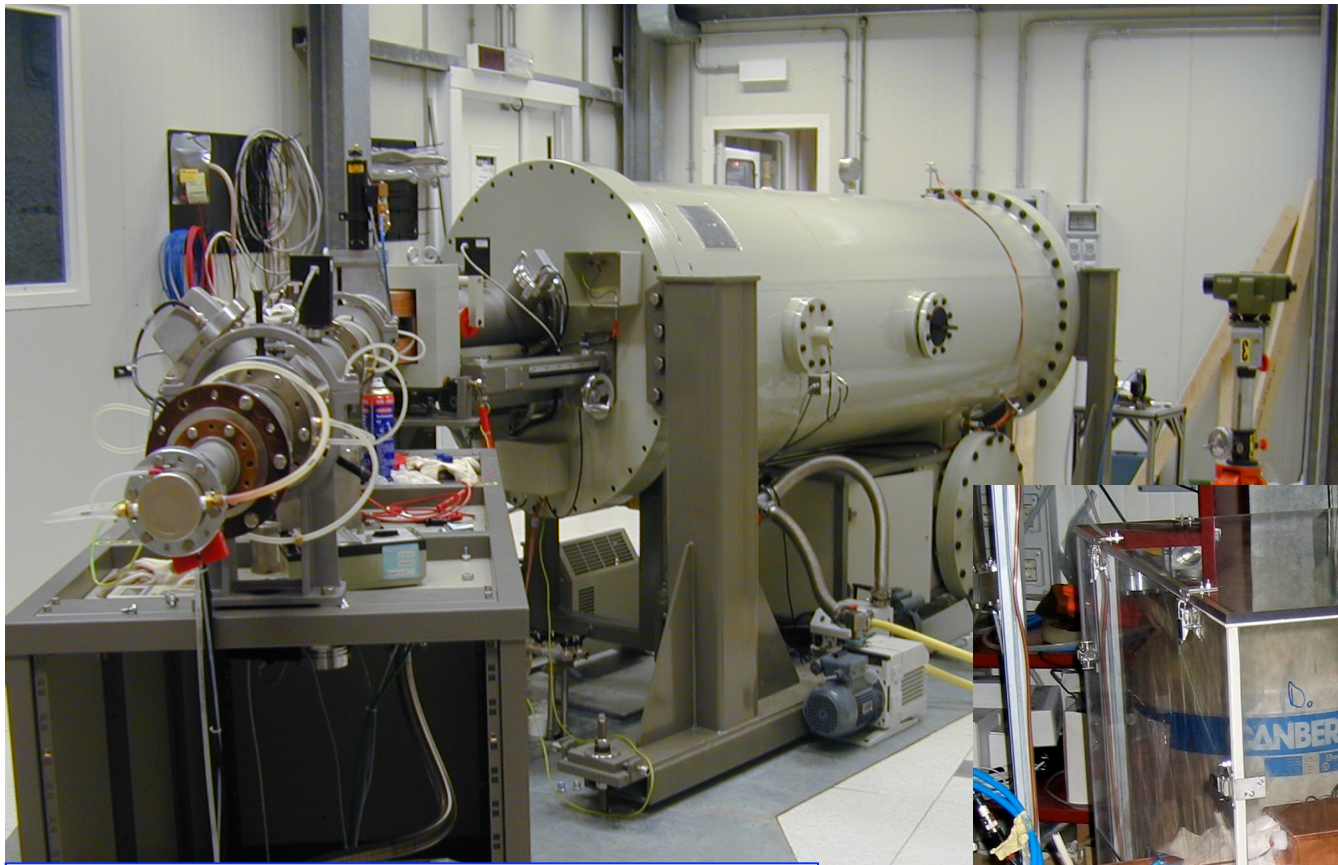
**Adopted in
astrophysical reaction
rate compilations!**

Adelberger et al. 2011
recommendation, using
new low-energy data

Angulo et al. 2001:
Ground state capture
contributes 5% of
total S factor.



The LUNA 0.4 MV accelerator deep underground

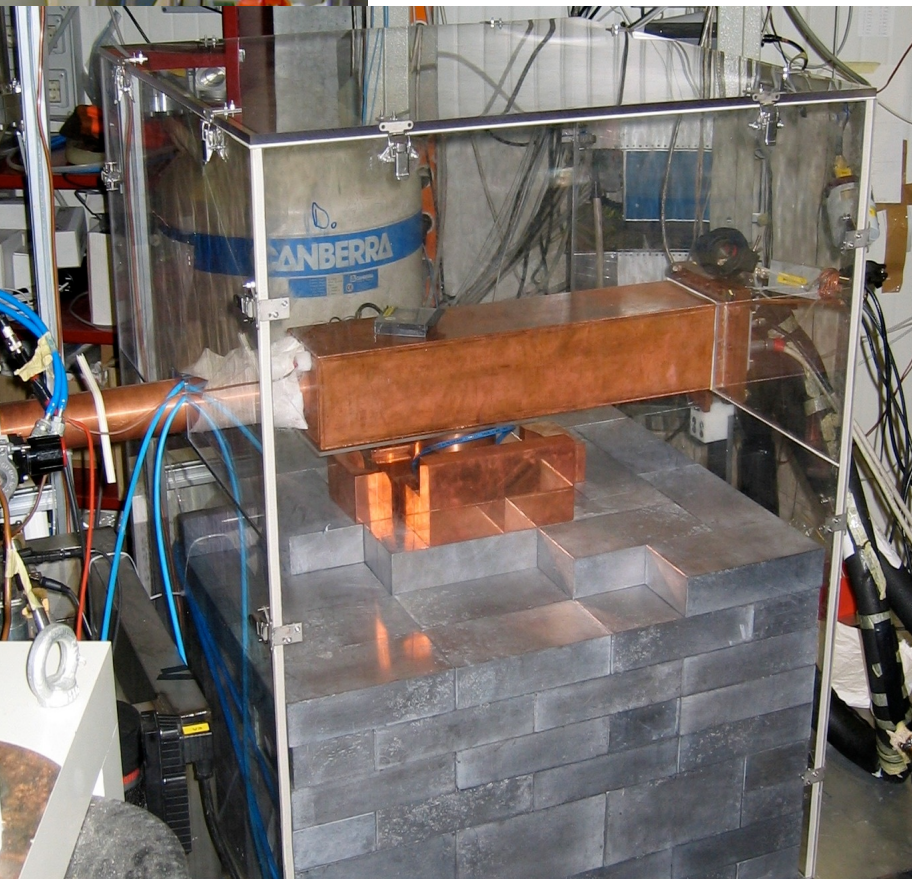


LUNA approach:
Measure nuclear reaction cross sections
at or near the relevant energies
(= Gamow peak), using

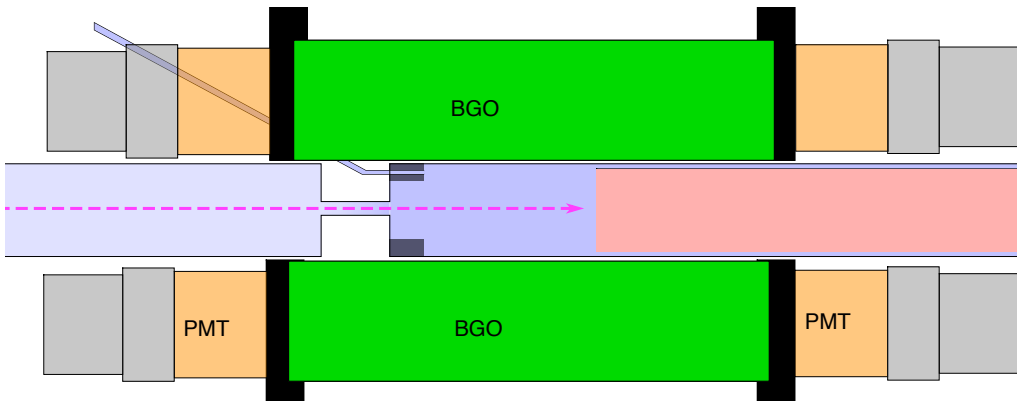
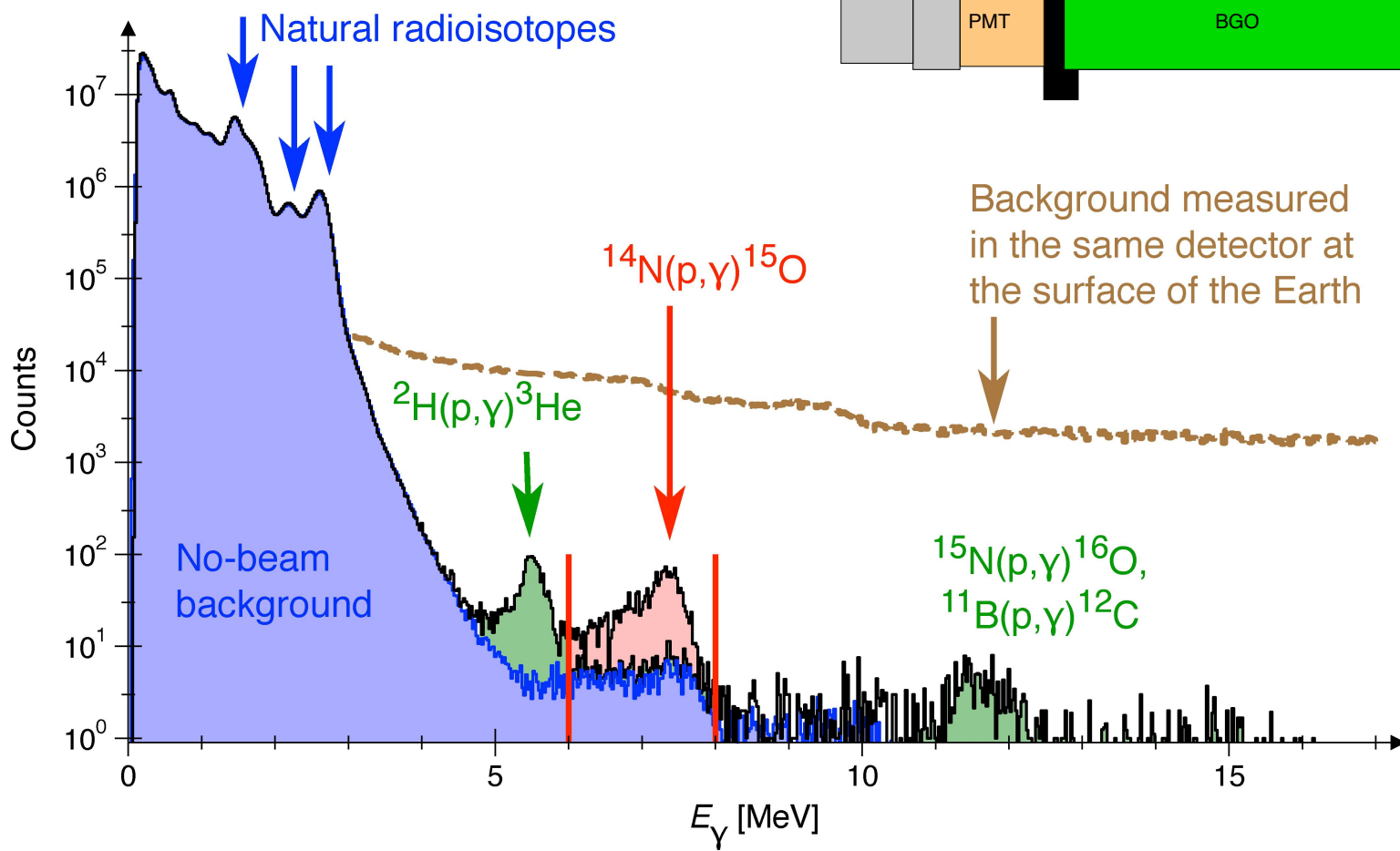
- high beam intensity
- low background
- great patience

LUNA = Laboratory
Underground for
Nuclear Astrophysics

- Italy
- Germany (Bochum, Dresden)
- Hungary
- UK

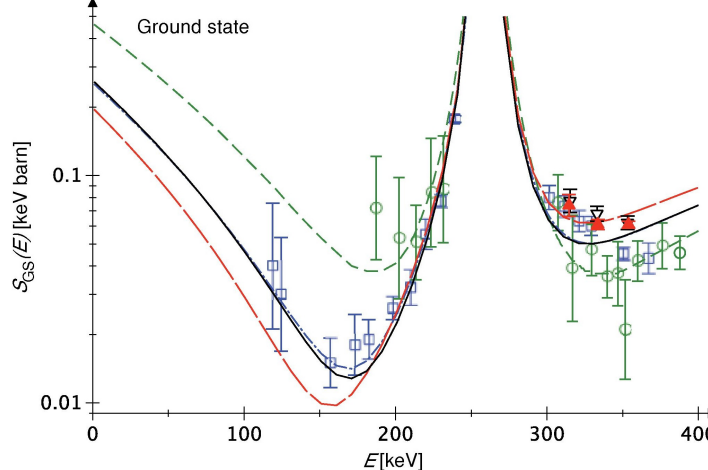
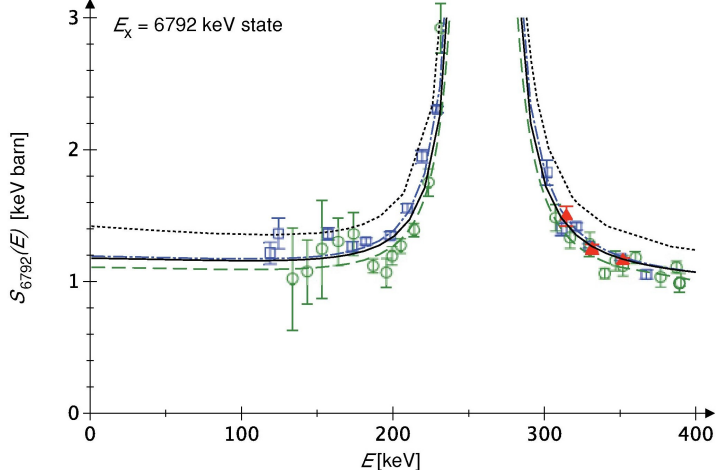
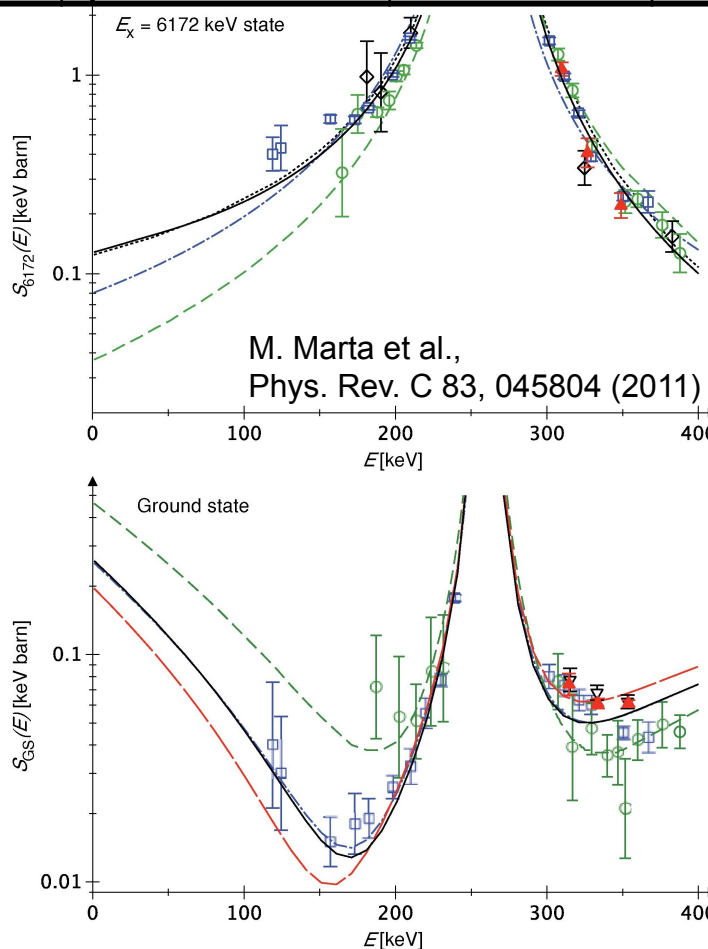
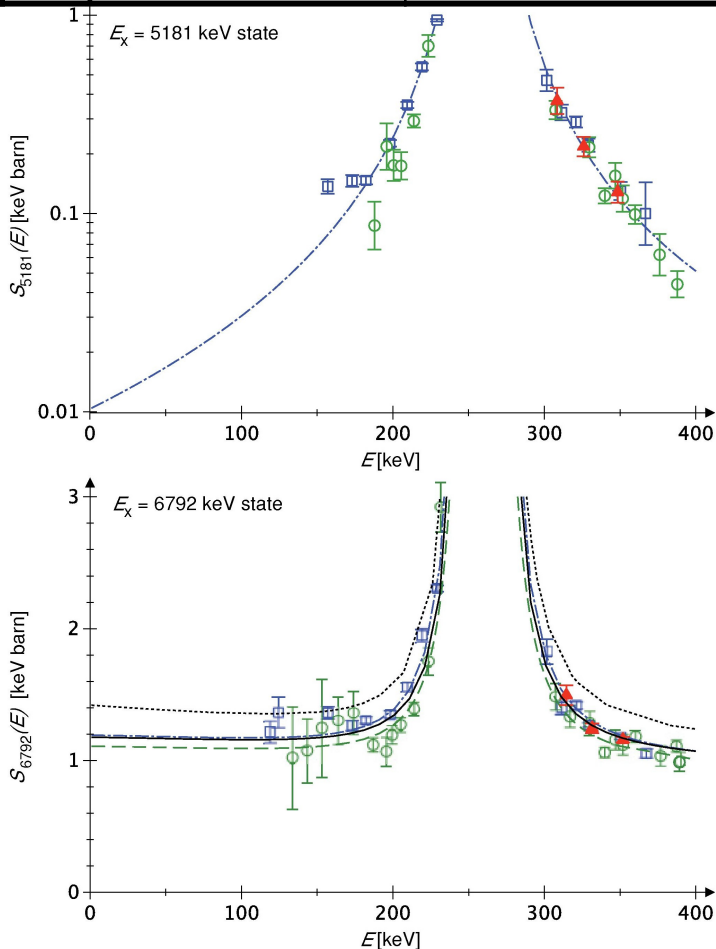


LUNA total cross section of $^{14}\text{N}(\text{p},\gamma)^{15}\text{O}$ in a 4π BGO summing crystal



LUNA divided the $^{14}\text{N}(\text{p},\gamma)^{15}\text{O}$ cross section by 2!

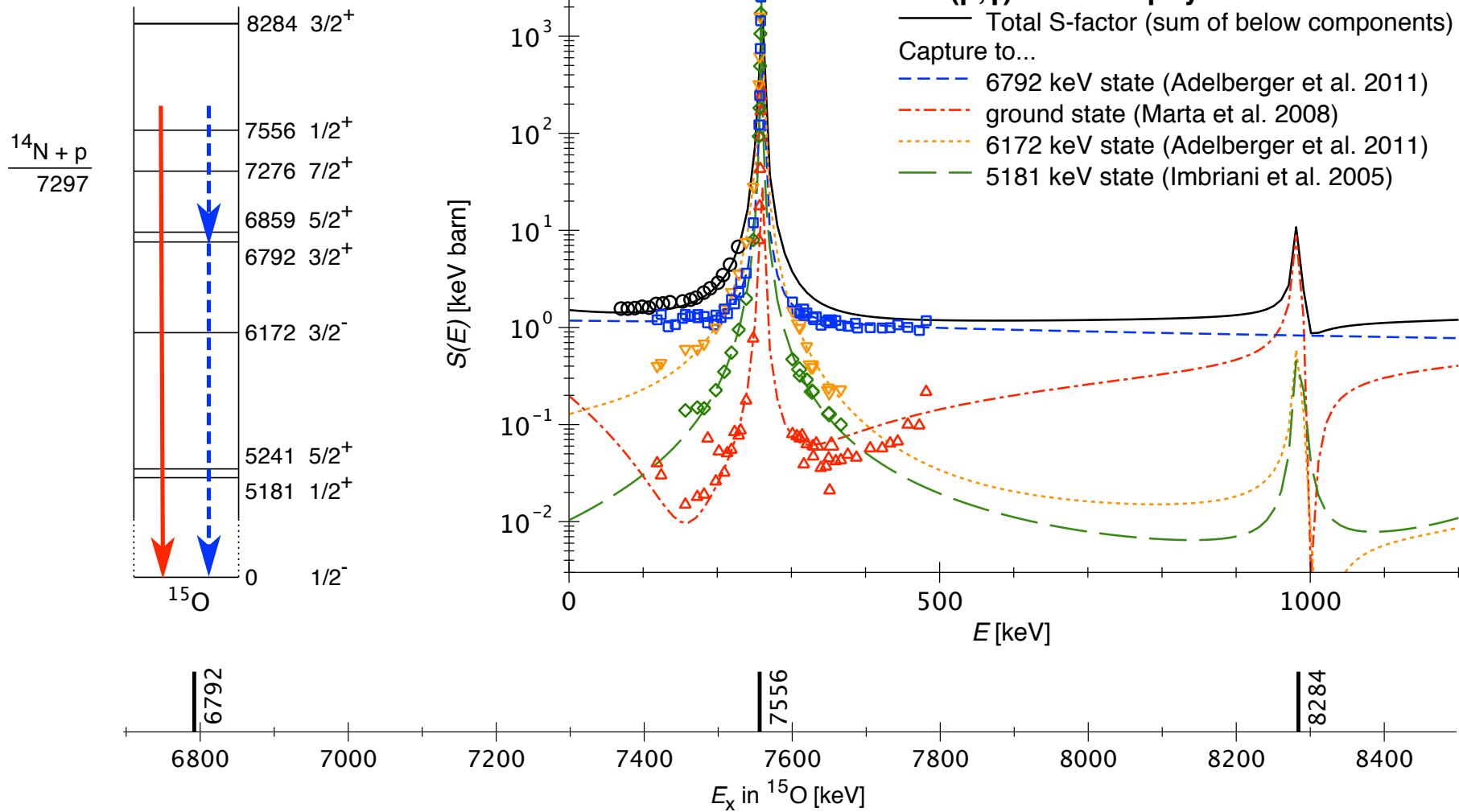
Capture to...	NACRE compilation 1999	LUNA, phase 1 2004	TUNL 2005	LUNA, phase 3 2008+2011
...ground state in ^{15}O	1.55 ± 0.34	0.25 ± 0.06	0.49 ± 0.08	0.27 ± 0.05
...excited states in ^{15}O	1.65 ± 0.05	1.36 ± 0.05	1.27 ± 0.05	(1.39 ± 0.05)
S(0) in keV barn	3.2 ± 0.5 (tot)	1.6 ± 0.2 (tot)	1.8 ± 0.2 (tot)	1.66 ± 0.12 (tot)



Adelberger et al.
2011
recommended
precision 7%...

...but it should be
further improved!

Needed: new experimental data on $^{14}\text{N}(\text{p},\gamma)^{15}\text{O}$



- The S-factor is the sum of several components with very different energy dependence.
- New cross section data between 0.4 and 2.0 MeV are needed!
- This requires a high-intensity, low background accelerator with a few MeV energy range.

Planned Felsenkeller accelerator, HZDR and TU Dresden



- 12-year old, working 5 MV accelerator
- Bought off an insolvent spin-off of York Univ.
- Transported to HZDR (July 2012)
- 250 μA upcharge current (double pellet chains)
- Two Cs sputter ion sources: 100 μA H⁻ and C⁻
- Well-suited for low-energy nuclear astrophysics
- Develop new terminal ion source
- Work on CAMAC control and gas target systems



TECHNISCHE
UNIVERSITÄT
DRESDEN

DRESDEN
concept



HZDR

- ◆ Prof. Dr. Burkhard Kämpfer (Theorie)
- ◆ PD Dr. Daniel Bemmerer (Experiment)
- ◆ VL-Webseite: <http://www.hzdr.de/db/Cms?pOid=38601&pNid=164> (Link im Physik-KVV)

- ◆ Vorlesung montags 4. DS (13:00-14:30), SE2/102
- ◆ Übung mittwochs 5. DS (14:50-16:20), SE2/102, nur gerade Wochen (Beginn 17.4.)

- Hörerkreis: Vertiefung Bachelor (PV) und Master (alle)
- Vertiefungsgebiet: Teilchen- und Kernphysik (Vorlesung im Wahlpflichtvertiefungsgebiet, masterartig)
Theoretische Physik (Vorlesung im Fakultativteil der Wahlpflichtvertiefung)
- Vorkenntnisse: Einführung in die Kern- und Teilchenphysik

- ◆ Bei Bedarf Vergabe eines Leistungsnachweises (bei Bedarf benotet), bitte rechtzeitig anmelden!
Voraussetzungen: regelmäßige Teilnahme an Vorlesung und Übungen,
erfolgreiches Lösen von drei Übungsaufgaben.



VL-Webseite: <http://www.hzdr.de/db/Cms?pOid=38601&pNid=164> (Link im Physik-KVV)

Hauptsächlich benutzte Literatur:

- Edward W. Kolb und Michael S. Turner: The Early Universe (Frontiers in Physics). Westview Press 1994
- Christian Iliadis, Nuclear Physics of Stars, Wiley-VCH Weinheim, 2007

Ergänzend kann verwendet werden:

- Donald D. Clayton: Principles of Stellar Evolution and Nucleosynthesis. Chicago: University of Chicago Press 1983.
- Donald D. Clayton, Handbook of Isotopes in the Cosmos: Hydrogen to Gallium, Cambridge University Press, 2007
- N.K. Glendenning, After the Beginning, Imp. Coll. Press & World Scientific, 2004
- D. Perkins, Particle Astrophysics, Oxford University Press, 2003
- S. Dodelson, Modern Cosmology, Academic Press Amsterdam, 2003
- G. Börner, The Early Universe, Springer Verlag Berlin, 2003
- B. Kämpfer, B. Lukacs, Gy. Paal, Cosmic Phase Transitions, Teubner Verlag, 1994
- P. Coles, F. Lucchin, Cosmology, John Wiley & Sons, 1995
- C.W. Misner, K.S. Thorne, J.A. Wheeler, Gravitation, Freeman & Co, San Francisco, 1973
- C. Berger, Teilchenphysik, Springer Verlag Berlin, 1992



TECHNISCHE
UNIVERSITÄT
DRESDEN

DRESDEN
concept



HZDR